

МІНІСТЕРСТВО ОСВІТИ І НАУКИ УКРАЇНИ
КРИВОРІЗЬКИЙ НАЦІОНАЛЬНИЙ УНІВЕРСИТЕТ
ФАКУЛЬТЕТ МЕХАНІЧНОЇ ІНЖЕНЕРІЇ ТА ТРАНСПОРТУ
КАФЕДРА ТЕХНОЛОГІЙ МАШИНОБУДУВАННЯ

КВАЛІФІКАЦІЙНА БАКАЛАВРСЬКА РОБОТА

зі спеціальності 131 – Прикладна механіка

на тему: Вдосконалення конструкторсько-технологічної підготовки виготовлення деталі «Колесо з зубчасте» із метою підвищення його надійності з використанням CAD, CAE та передових технологій обробки

Виконав: здобувач
групи ПМ-20
Лещенко К. П.
Керівник випускної роботи:
Кравцова Д. Ю.

Кривий Ріг
2024 р.

МІНІСТЕРСТВО ОСВІТИ І НАУКИ УКРАЇНИ
КРИВОРІЗЬКИЙ НАЦІОНАЛЬНИЙ УНІВЕРСИТЕТ
ФАКУЛЬТЕТ МЕХАНІЧНОЇ ІНЖЕНЕРІЇ ТА ТРАНСПОРТУ
КАФЕДРА ТЕХНОЛОГІЙ МАШИНОБУДУВАННЯ

**ПОЯСНЮВАЛЬНА ЗАПИСКА
ДО КВАЛІФІКАЦІЙНОЇ БАКАЛАВРСЬКОЇ РОБОТИ**

зі спеціальності 131 – Прикладна механіка

на тему: Вдосконалення конструкторсько-технологічної підготовки виготовлення деталі «Колесо зубчасте» із метою підвищення його надійності з використанням CAD, CAE та передових технологій обробки

Виконав здобувач гр. ПМ-20

Лещенко К.П.

(підпис)

Керівник КБР

Кравцова Д.Ю.

(підпис)

Нормоконтроль

Рязанцев А.О.

(підпис)

Завідувач кафедри

Нечаєв В.П.

(підпис)

м. Кривий Ріг

2024 р.

Криворізький національний університет
Факультет: механічної інженерії та транспорту
Кафедра: технології машинобудування
Ступінь вищої освіти: бакалавр
Спеціальність: 131 Прикладна механіка

Затверджую
Зав. кафедри доцент, к.т.н., Нечаєв В.П.

(підпись)

(дата)

ЗАВДАННЯ на кваліфікаційну бакалаврську роботу

Здобувач гр. ПМ-20 Лещенко Кирило Павлович

1. Тема: Вдосконалення конструкторсько-технологічної підготовки виготовлення деталі «Колесо з зубчасте» із метою підвищення його надійності з використанням CAD, CAE та передових технологій обробки

Керівник проекту: к.ф.-м.н Кравцова Д.Ю.

Затверджена наказом по КНУ № 253с від 08.04.2024 р.

2. Термін подання здобувачем закінченої роботи 10.06.2024 р.

3. Вихідні дані до роботи: 1. Креслення складального вузла. 2. Креслення деталі. 3. Річна програма випуску деталей. 4. Технічна характеристика складального вузла.

4. Зміст пояснювальної записки: 1. Загальна частина. 2. Технологічна частина. 3. Конструкторська частина. 4. Організаційно-економічна частина.

5. Перелік графічного матеріалу: 1. Креслення деталі. 2. Креслення складального вузла. 3. Креслення ескізів операцій. 4. Інженерний аналіз випробовування деталі «Колесо з зубчасте» з використанням CAE технологій.

Справ. №	Нерв. приимен.	Поз.	Формат Здана	Обозначене	Наименование	Кол.	Приме- чаніє
Подп. № подл.	Взам. инд. №	Инд. № дубл.	Подп. у дата	Подп. у дата	Подп. у дата	Лит.	Лист
Изм.	Лист	№ докум.	Подп.	Дата	Изм. Лист № докум. Подп. Дата	Лит.	Лист
Разраб.		Лещенко			КНУ.КБР.131.24.1-11.ВМКБР Відомість матеріалів КБР		
Проф.		Кравцові				1	
Н.контр.		Рязанцев					
Утв.		Нечасев					

РЕФЕРАТ

Пояснювальна записка до кваліфікаційної бакалаврської роботи містить:
58 сторінок, 54 рисунків, 15 таблиць, 4 листа графічної частини.

Мета роботи: вдосконалення технологічних процесів виготовлення деталі «Колесо зубчасте», а саме: підвищення надійності за рахунок поліпшення механічних властивостей деталі шляхом заміни базових видів термічної обробки, підвищення техніко-економічної ефективності шляхом використання нових верстатів з ЧПК, оцінка надійності шляхом випробування деталі з використанням САЕ технологій.

У першому розділі розглянуто службове призначення деталі, вибір матеріалу і аналогів, проведено аналіз якості поверхонь деталей та технічний контроль робочого креслення.

У другому розділі показано методи обробки деталі, розроблено маршрутно-технологічний процес, призначено ріжучі та допоміжні інструменти, визначені режими обробки та нормування операцій, економічно обґрунтовано спосіб отримання заготовок, проаналізовано технологічність деталі.

У третьому розділі призначено технологічне устаткування та пристрой до нього, оцінено надійність конструкції деталі з використанням САЕ-системи SolidWorks Simulation.

У четвертому розділі описано охорону та безпеку праці на виробництві, оцінено економічну ефективність виробництва, розроблено організацію виробництва із застосуванням сучасних технологічних рішень, а саме підвищено надійність роботи поверхні деталі за рахунок зниження зношуваності шляхом проведення локальної хіміко-термічної обробки зубців.

**КОЛЕСО ЗУБЧАСТЕ, РЕДУКТОР ЗУБЧАСТИЙ ЦИЛІНДРИЧНИЙ,
ВИПРОБОВУВАННЯ В SOLIDWORKS SIMULATION, ВДОСКОНАЛЕННЯ
ТЕРМІЧНОЇ ОБРОБКИ, АЗОТУВАННЯ.**

Змн.	Арк.	№ докум.	Підпис	Дата
Розроб.		Лещенко		
Перевір.		Кравцові		
Реценз.				
Н. контрол.		Рязанцев		
Затв.		Нечасєв		

Реферат

Літ.	Арк.	Аркушів

Кафедра ТМ
гр. ПМ-20

6
ABSTRACT

The explanatory note to the qualifying bachelor thesis contains: 58 pages, 54 figures, 15 tables, 4 sheets of the graphic part.

The purpose of the work: improvement of the technological processes of manufacturing the "Gear wheel" part, namely: increasing reliability by improving the mechanical properties of the part by replacing basic types of heat treatment, increasing technical and economic efficiency by using new CNC machines, assessing reliability by testing the part using CAE technologies.

In the first section, the service purpose of the part, the choice of material and analogues, the analysis of the quality of the surface of the parts and the technical control of the working drawing are considered.

In the second chapter, the methods of processing the part are shown, the routing and technological process is developed, cutting and auxiliary tools are assigned, the modes of processing and normalization of operations are determined, the method of obtaining blanks is economically substantiated, and the manufacturability of the part is analyzed.

In the third section, the technological equipment and devices for it are assigned, the reliability of the part design is evaluated using the SolidWorks Simulation CAE system.

The fourth chapter describes labor protection and safety in production, evaluates the economic efficiency of production, develops the organization of production with the use of modern technological solutions, namely, increases the reliability of the surface of the part by reducing wear and tear by conducting local chemical-thermal treatment of teeth.

GEAR WHEEL, CYLINDRICAL GEAR REDUCER, SOLIDWORKS SIMULATION TESTING, HEAT TREATMENT IMPROVEMENT, NITRIDING.

Змн.	Арк.	№ докум.	Підпис	Дата
Розроб.		Лещенко		
Перевір.		Кравцовіа		
Реценз.				
Н. конто.		Рязанцев		
Затв.		Нечасєв		

КНУКБР.131.24.1-11.Р

Реферат

Літ.	Арк.	Аркушів

*Кафедра ТМ
гр. ГМ-20*

7
ЗМІСТ

№	Назва розділу	Стор.
	ВСТУП	
1	ЗАГАЛЬНА ЧАСТИНА	
1.1	Службове призначення деталі. Вибір матеріалу і аналогів	
1.2	Аналіз якості поверхонь деталей	
1.3	Технічний контроль робочого креслення	
2	ТЕХНОЛОГІЧНА ЧАСТИНА	
2.1	Аналіз технологічності деталі	
2.2	Вибір та економічне обґрунтування способу отримання заготовки	
2.3	Вибір методів обробки	
2.4	Вибір конструкторських, технологічних і вимірювальних баз	
2.5	Розробка маршрутно-операційної технології обробки деталі	
2.6	Вибір ріжучого і допоміжного інструменту	
2.7	Вибір засобів технічного контролю	
2.8	Визначення режимів обробки	
2.9	Нормування операцій	
3	КОНСТРУКТОРСЬКА ЧАСТИНА	
3.1	Вибір технологічного устаткування	
3.2	Вибір пристройів	
3.3	Випробування деталі «Колесо зубчасте» з використанням САЕ технологій	
4	ОРГАНІЗАЦІЙНО-ЕКОНОМІЧНА ЧАСТИНА	
4.1	Охорона і безпека праці на виробництві	
4.2	Оцінка техніко-економічної ефективності виробництва	
4.3	Організація виробництва із застосуванням сучасних технологічних рішень	
	ВИСНОВОК	
	СПИСОК ВИКОРИСТАНИХ ДЖЕРЕЛ	
	ДОДАТКИ	

Змн.	Арк.	№ докум.	Підпис	Дата	КНЧ.КБР.131.24.1-11.3		
Розроб.		Лещенко					
Перевір.		Кравцові					
Реценз.							
Н. контр.		Рязанцев					
Затв.		Нечасєв					
Зміст							
Кафедра ТМ							
гр. ПМ-20							

ВСТУП

Технологія машинобудування перебуває на постійному етапі розвитку, спрямованому на вдосконалення виробництва машин і комплексів. Прогрес у цій галузі полягає в упровадженні безвідходних та енергозберігаючих технологій, а також технологій, що не потребують людського втручання.

Сучасний рівень технології виготовлення деталей в машинобудуванні включає в себе використання різноманітних методів, таких як обробка на верстатах з ЧПУ, лазерне обробка, азотування, тощо. Основна суть роботи в цій області полягає в розробці та вдосконаленні технологічних процесів виготовлення деталей з метою забезпечення їх якості, точності та ефективності виробництва.

Однією з актуальних задач у сфері виготовлення деталей є зменшення відходів матеріалів, оптимізація процесів обробки та зменшення споживання енергії. Це дозволяє економити ресурси та знижувати витрати на виробництво, що є важливим з точки зору економічної та екологічної стійкості.

Метою роботи в даній області може бути розробка нових технологій виготовлення деталей, вдосконалення існуючих процесів, а також їх практична реалізація на виробництві. Область застосування таких розробок широка і охоплює будь-які сфери, де використовуються машини і технічні пристрой.

Змн.	Арк.	№ докум.	Підпис	Дата	КНЧ.КБР.131.24.1-11.В		
Розроб.	Лещенко				Літ.	Арк.	Аркушів
Перевір.	Кравцовів						
Реценз.							
Н. контрол.	Рязанцев						
Затв.	Нечасев						

Вступ

*Кафедра ТМ
гр. ПМ-20*

1 ЗАГАЛЬНА ЧАСТИНА

1.1 Службове призначення деталі. Вибір матеріалу і варіантів замін

Зубчасте колесо – деталь механізму, яка призначена для передачі обертального моменту та крутного зусилля між валами. З основних функцій можна виділити передачу обертального руху, збільшення крутного моменту, зміна швидкості обертання та безпосередньо з'єднання валів між собою.

Окрім вищезазначених, зубчасті колеса також виконують ряд допоміжних функцій, такі як фіксація валів, захист від перевантажень та регулювання обертального руху.

На кресленні деталі «Зубчасте колесо» показані головний вид та переріз зубчастого колеса, а також таблицю параметрів колеса. Проставлені всі потрібні розміри, шорсткість та допуски, які необхідні для виготовлення деталі.

Заготовка для деталі є виливок зі Сталі 45Л, що характеризується високою міцністю та помірною в'язкістю.

В якості замінників даного матеріалу можуть виступати сталі 50Л та 40Л. Як видно з таблиць 1.1 та 1.2, сталі мають подібний хімічний склад і механічні властивості. Для досягнення необхідних властивостей сталь піддають термічній обробці, яка полягає у гартуванні і відпуску. Гартування сталі проводять при 860–880°C з охолодженням в маслі, а відпуск при 630–650°C з охолодженням на повітрі. У результаті термічної обробки підвищується твердість, а значить і зносостійкість сталі.

Таблиця 1.1 – Хімічний склад сталі 45 та її замінників

Марка сталі	C	Si	Mn	Cr	Cu	Ni	P	S
				не більше				
1	2	3	4	5	6	7	8	9
40Л	0,37- 0,45	0,2- 0,52	0,4-0,9	0,3	0,3	0,3	0,04	0,045
50Л	0,47- 0,55	0,2- 0,52	0,4-0,9	0,3	0,3	0,3	0,04	0,045
45Л	0,42- 0,5	0,2- 0,52	0,4-0,9	0,3	0,3	0,3	0,04	0,045

Змн.	Арк.	№ докум.	Підпис	Дата	<i>КНУКБР.13124.1-11.01.34</i>		
Розроб.	Лещенко				Літ.	Арк.	Аркушів
Перевір.	Кравцовіва						
Реценз.							
Н. конструктора	Рязанцев						
Затв.	Нечасєв						
Загальна частина					Кафедра ТМ		
					гр. ПМ-20		

Таблиця 1.2 – Механічні властивості сталей

Марка сталі	σ_t , МПа	σ_{vp} , МПа	δ_5 , %	ψ , %	a_h , Дж/см ²	Твердість НВ
	не менше					не більше
1	2	3	4	5	6	7
40Л	300	530	14	25	29	146-173
50Л	400	750	14	20	29	174
45Л	290	520	10	18	24	148-217

Аналіз табличних даних свідчить, що підвищений вміст вуглецю у Ст. 50Л сприяє збільшенню твердості, тоді як додавання легуючих елементів до Ст. 40Л поліпшує її механічні властивості. Проте, наші вимоги задовільняє Ст. 45Л, тому використовуємо її.

1.2 Аналіз якості поверхонь деталей

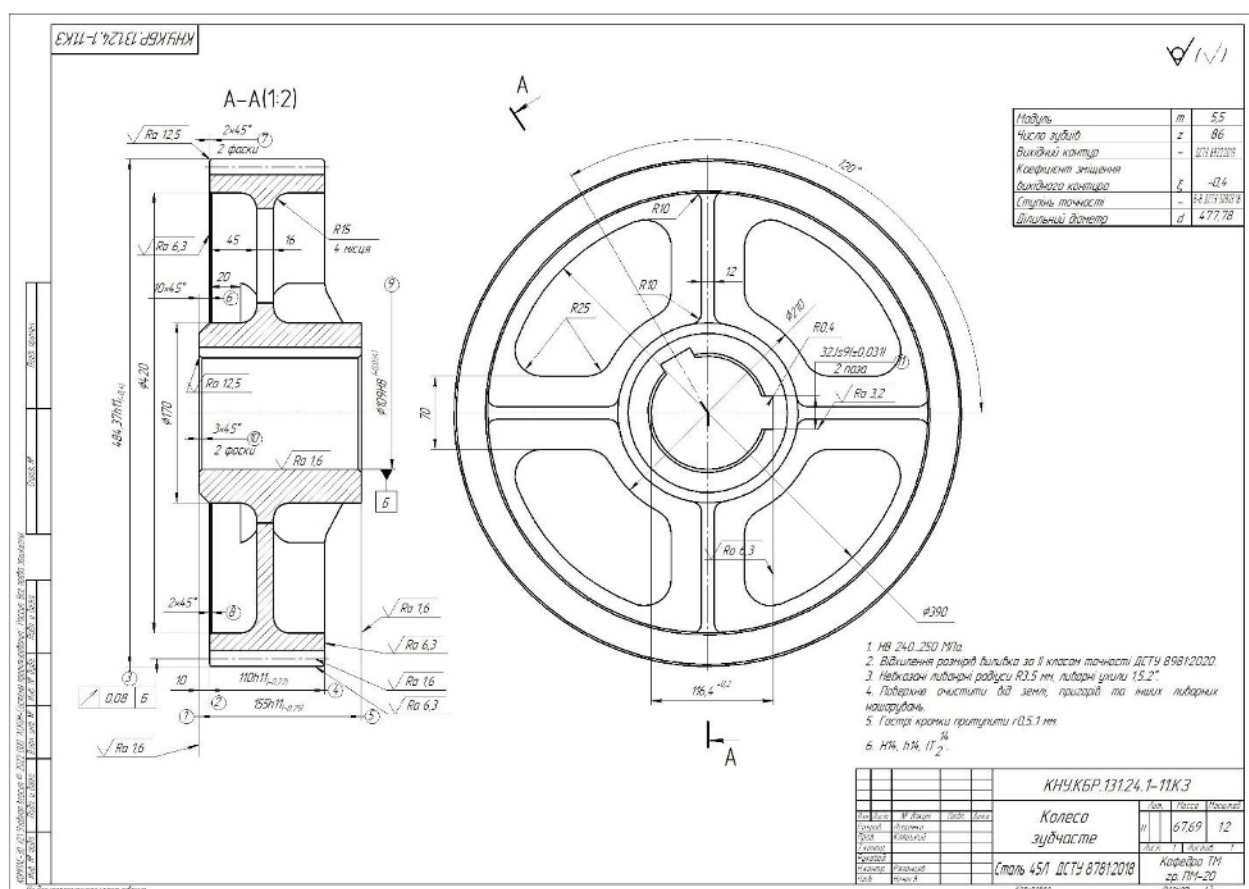


Рисунок 1.1 – Деталь з пронумерованими основними, допоміжними і спряженими поверхнями

Змн.	Арк	№ докум.	Підпис	Дата

КНУКБР.13124.1-11.01.34

Арк.

Основними поверхнями, що відповідають за розміщення зубчастого колеса у вузлі, є центральний отвір 9 та шпонкові пази 11. До них поставлені високі вимоги по точності та шорсткості. Зубці колеса 12 належать до допоміжних поверхонь. Інші поверхні, що визначають форму деталі, є вільними.

Основні поверхні виконують шорсткістю:

1. для центрального отвору 9 – Ra 1,6;
2. для шпоночних пазів 11 – Ra 3,2.

Точність допоміжних поверхонь за діаметром складає Ra 1,6. Таким чином, всі поверхні деталі мають вимоги, відповідно до їх функціонального призначення.

З огляду на кінцеві вимоги до точності та якості поверхонь деталей, вибирають послідовні технологічні методи обробки, які забезпечать відповідну якість поверхонь.

Дані заносимо в таблицю 1.3.

Таблиця 1.3 – Аналіз якості поверхонь деталей

№	Розмір, мм	Квалітет точності IT	Відхилення розміру	Шорсткість Ra, мм	Відхилення форми
1	2	3	4	5	6
1 5	L = 155	h11	es = 0; ei = -0.25	1,6	-
2	L = 10	h11	es = 0; ei = -0.22	6,3	-
3	Ø484	h11	es = 0; ei = -0.4	6,3	-
4	L = 120	h11	es = 0; ei = -0.22	6,3	-
6	10×45°	h14	es = 0; ei = -0.36	12,5	-
7					
8	2×45°	h14	es = 0; ei = -0.25	12,5	-
10					
9	Ø109	H8	ES = +0,054; EI = 0	1,6	-
11	b = 32	Js9	es = +0,031; ei = -0,031	6,3	-
12	z = 86 m = 5,5	8-B	-	1,6	/ 0,08

1.3 Технічний контроль робочого креслення

На кресленні (Рис. 1.1) показано зубчасте колесо видом спереду та його перерізом. Це дозволяє чітко уявити форму та габарити деталі. Всі розміри

Змн.	Арк	№ докум.	Підпис	Дата	Арк.
					KНУ.КБР.13124.1-11.01.34

проставлені на кресленні. Більшість розмірів мають стандартну точність 14-го квалітету. Це стосується і радіусів, галтель та фасок.

Шорсткість основних, допоміжних і спряжених поверхонь указана на самих поверхнях або на виносних лініях. У штампі креслення зазначена назва деталі, матеріал, з якого вона виготовляється (сталь 45Л), маса деталі (67,69 кг), масштаб виконання (1:2). Таким чином, креслення має всі необхідні дані й дає повну уяву про розміри, форму деталі й вимоги до її якості.

Змн.	Арк	№ докум.	Підпис	Дата

КНУ.КБР.13124.1-11.01.34

Арк.

13
2 ТЕХНОЛОГІЧНА ЧАСТИНА

2.1 Аналіз технологічності деталі

Технологічність визначається комплексом характеристик конструкції виробу, які впливають на ефективність його виробництва, експлуатацію та можливість проведення ремонтних робіт з мінімальними витратами.

Оцінюємо технологічність зубчастого колеса вагою 67,69 кг, виготовленого зі сталі 45Л.

Метод виготовлення: ливіння в піщано-глинисту форму, по II класу точності. Маса заготовки складає 74,4 кг.

Трудомісткість механічної обробки деталі складає $T_n = 39$ хвилин, порівняно з базовою трудомісткістю $T = 50$ хвилин.

Технологічна собівартість деталі C_t дорівнює 3163 грн, у порівнянні з базовою технологічною собівартістю аналогу $C_{б.т.} = 3300$ грн.

Таблиця 2.1 – Аналіз якості поверхонь

Найменування поверхні	Кількість поверхонь	Кількість уніфікованих поверхонь	Квалітет точності	Параметр шорсткості, мкм
1	2	3	4	5
Отвір головний	1	1	$H8^{+0,054}$	0,16
Торець колеса	2	-	$h11_{-0,25}$	0,16
Фаска	6	6	$h14$	1,25
Шпонковий паз	2	2	$Js9^{\pm 0,031}$	0,63
Верх основи	1	-	$h11_{-0,22}$	0,63
Низ основи	1	-		
Зубці колеса	86	86	8-B	0,16
Всього	$Q_e = 99$	$Q_{ve} = 95$		

Змн.	Арк.	№ докум.	Підпис	Дата	КНУКБР.131.24.1-11.02.ТЧ		
Розроб.		Лещенко					
Перевір.		Кравцов					
Реценз.							
Н. контр.		Рязанцев					
Затв.		Нечасєв					
Технологічна частина					Літ.	Арк.	Аркушів
					Кафедра ТМ гр. ПМ-20		

2.1.1 Якісний аналіз технологічності:

Зубчасте колесо виготовлене зі сталі марки 45Л, що є недорогим та добре оброблюваним матеріалом. Заготовка отримана шляхом ливіння у піщано-глиняну форму з машинною формовкою за металевими моделями. Цей метод є продуктивним та економічно доцільним, оскільки деталь має багато поверхонь, які не потребують обробки.

Деталь складається з простих фігур, має правильну геометричну форму. Отвір стандартизований та уніфікований, наскрізний, перпендикулярний площинам. Велика вага обумовлює велику трудомісткість обробки. Всі поверхні доступні для підведення та відведення інструменту. Точність розмірів можна одержати на верстатах нормальної точності.

Виходячи з якісного аналізу, можна вважати деталь технологічною.

2.1.2 Кількісний аналіз технологічності:

- 1) Рівень технологічності конструкції по трудомісткості виготовлення:

$$K_{т.п.} = T/T_б \quad (2.1)$$

$$K_{т.п.} = 39/50 = 0,78$$

Трудомісткість нижче на 22% – деталь технологічна.

- 2) Рівень технологічності конструкції по технологічній собівартості:

$$K_{т.с.} = C/C_{б.с.} \quad (2.2)$$

$$K_{т.с.} = 3300/3163 = 1,1$$

Собівартість знизилась на 10,5% – деталь технологічна.

- 3) Коефіцієнт використання матеріалів:

$$K_{в.м.} = 67,69/74,4 = 0,91 \quad (2.3)$$

Так як коефіцієнт близький до 1, то робимо висновок, що деталь технологічна.

- 4) Коефіцієнт уніфікації конструктивних елементів деталі:

$$K_{у.е.} = 95/99 = 0,96 \quad (2.4)$$

Так як коефіцієнт близький до 1, то робимо висновок, що деталь технологічна.

- 5) Коефіцієнт точності обробки:

$$T_{sep} = (8 \times 8 + 11 \times 3 + 9 \times 2 + 14 \times 6) / 99 = 8,39 \quad (2.5)$$

$$K_{т.ч.} = 1 - (1 / 8,39) = 1 - 0,12 = 0,88 \quad (2.6)$$

Деталь технологічна, тому що коефіцієнт більший за 0,8.

- 6) Коефіцієнт шорсткості поверхні:

$$Ш_{sep} = (0,16 \times 89 + 1,25 \times 6 + 0,63 \times 4) / 99 = 330,4 / 99 = 3,34 \quad (2.7)$$

$$K_{т.ш.} = 1 / 3,34 = 0,29 \quad (2.8)$$

Деталь технологічна, тому що коефіцієнт менший за 0,32.

З розрахунків можна зробити висновок, що деталь є технологічною.

Змн.	Арк	№ докум.	Підпис	Дата	Арк.
					KНУ.КБР.13124.1-11.02.ТЧ

2.2 Вибір та економічне обґрунтування способу отримання заготовки

Вибір методу отримання заготовки регулюється матрицею впливу певних факторів. (Табл. 2.2). При обираці способу виготовлення найважливішим аспектом є отримання потрібної якості при найменших затратах та витримування форм та розмірів, які прописані в кресленні.

Аналізувати заготовки будемо за зберіганням форм та розмірів заготовки; точністю та якістю поверхні, яка отримується; технологічністю властивостей матеріалів та економією матеріалів. Обирати будемо той варіант, де буде найбільша кількість плюсів.

Таблиця 2.2 – Матриця впливу факторів

Спосіб виготовлення заготовки	Фактори				Сума
	Форма і розміри заготовки	Точність та якість поверхневого шару	Технологічні властивості матеріалу	Економія матеріалу	
Лиття	+	+	-	+	3
Ковка	+	-	+	-	2
Штампування	-	+	+	+	3

Висновок: лиття та штамповка – оптимальні способи отримання заготовки.

Вартість заготовки:

$$A = M \cdot C \cdot K_h \cdot K_c \cdot K_{op} - (Q - q) \cdot \varphi \quad (2.6)$$

M – маса заготовки;

C – вихідна оптова ціна 1 кг заготовки;

K_h – коефіцієнт, що враховує групу складності заготовки;

K_c – коефіцієнт, що враховує виготовлення заготовок;

K_{op} – коефіцієнт, що враховує масу заготовки;

q – чиста маса деталі;

φ – ціна 1 кг відходів;

Z_o – заробітна плата по операціям механічної обробки, грн.

Вартість відливки:

$$A = 112 \cdot 60 \cdot 0,58 \cdot 0,97 \cdot 0,73 - (112 - 67,69) \cdot 10 = 2317 \text{ грн}$$

Вартість поковки штампованої:

$$A = 112 \cdot 50 \cdot 0,85 \cdot 1,26 \cdot 0,96 - (112 - 67,69) \cdot 10 = 5315 \text{ грн}$$

Таким чином, можна зробити висновок, що вибір відливка в якості заготовки є економічно вигідним.

Змн.	Арк	№ докум.	Підпис	Дата	Арк.
					KНУ.КБР.13124.1-11.02.ТЧ

2.3 Вибір методів обробки

Спосіб обробки поверхонь визначається жорсткими вимогами до їх точності, шорсткості та взаєморозташування. Досягти необхідних параметрів можна різними методами, обираючи оптимальний з урахуванням габаритів, якості заготовки, властивостей матеріалу, наявного обладнання, економічності обробки та інших факторів.

Дані заносять в таблицю 2.3

Таблиця 2.3 – План обробки основних поверхонь деталі

Поверхні деталі	Креслярські вимоги до поверхні		Параметри поверхні після обробки		
	точність	шорсткість	операції	точність	шорсткість
1	2	3	4	5	6
155h11	155 _{-0,25}	Ra 1,6	Підрізання торців чорнове	IT14	Ra 12,5
			Підрізання торців напівчистове	IT13	Ra 6,3
			Підрізання торців чистове	IT12	Ra 3,2
			Шліфування попереднє	$h11_{-0,25}$	Ra 1,6
10h11	10 _{-0,22}	Ra 6,3	Підрізання торців чорнове	IT14	Ra 12,5
			Підрізання торців напівчистове	$h11_{-0,22}$	Ra 6,3
$\varnothing 484h11$	$\varnothing 484_{-0,4}$	Ra 6,3	Точіння чорнове	IT14	Ra 12,5
			Точіння напівчистове	$h11_{-0,4}$	Ra 6,3
120h11	120 _{-0,22}	Ra 6,3	Підрізання торців чорнове	IT14	Ra 12,5
			Підрізання торців напівчистове	$h11_{-0,22}$	Ra 6,3
2×45°	-	Ra 12,5	Зняття фаски	h14	Ra 12,5
10×45°	-	Ra 12,5	Зняття фаски	h14	Ra 12,5

Змн.	Арк	№ докум.	Підпис	Дата	Арк.
					KНУ.КБР.131.24.1-11.02.ТЧ

Продовження таблиці 2.3

1	2	3	4	5	6
$\emptyset 109H8$	$\emptyset 109^{+0,054}$	Ra 1,6	Розточення чорнове	IT14	Ra 12,5
			Розточення напівчистове	IT11	Ra 6,3
			Розточення чистове	IT9	Ra 3,2
			Шліфування попереднє	$H8^{+0,054}$	Ra 1,6
32Js9	$32^{\pm 0,031}$	Ra 6,3	Протягування пазу	$Js9^{\pm 0,031}$	Ra 6,3
$\emptyset 484$ $z = 86$ $m = 5,5$	-	Ra 1,6	Нарізування зубців	8-B	Ra 1,6

2.4 Вибір конструкторських, технологічних і вимірювальних баз

Форма деталі зумовлює правила її базування, зубчасте колесо має форму обертання. В залежності від свого призначення та де деталь застосовуються бази поділяють на три типи.

1. Конструкторські: визначають положення деталі в складі вузла. В даному випадку зубчастого колеса, конструкторськими базами є центральний отвір 9 та шпонкові пази 11.

2. Вимірювальні: Використовуються для вимірювання розмірів та контролю відносного розташування поверхонь.

3. Технологічні: Застосовуються при складанні, вимірюванні або механічній обробці.

Теоретичні та умовні схеми базування на токарній, протяжній, зубообробній та шліфувальній операціях представлені на Рис 2.1, Рис 2.2, Рис 2.3, Рис 2.4, Рис 2.5, Рис 2.6 та Рис 2.7.

Змн.	Арк	№ докум.	Підпис	Дата	Арк.
					KNU.KБР.131.24.1-11.02.74

Токарна операція (обробка правої сторони):

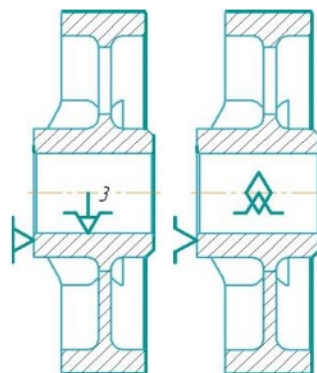


Рис 2.1 – Умовна та теоретична схема базування зубчастого колеса

Токарна операція (обробка лівої сторони):

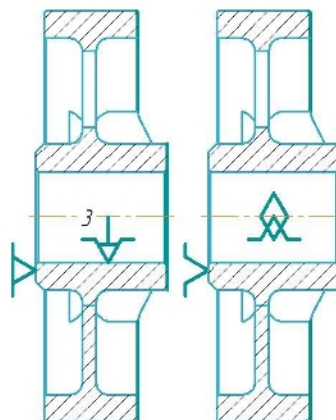


Рис 2.2 – Умовна та теоретична схема базування зубчастого колеса

Токарна операція (роздочення):

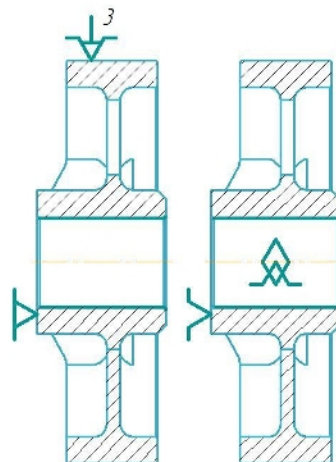


Рис 2.3 – Умовна та теоретична схема базування зубчастого колеса

Змн.	Арк	№ докум.	Підпис	Дата	Арк.
					KNU.KБР.131.24.1-11.02.ТЧ

Протяжна операція (протягування пазу):

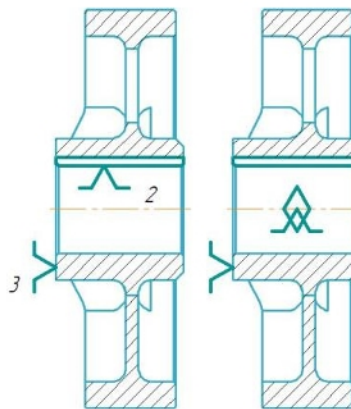


Рис 2.4 – Умовна та теоретична схема базування зубчастого колеса

Зубообробна операція (нарізання зубів):

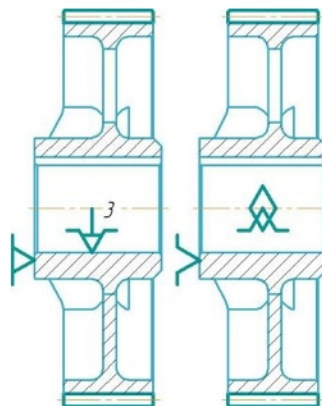


Рис 2.5 – Умовна та теоретична схема базування зубчастого колеса

Шліфувальна операція (обробка правої сторони):

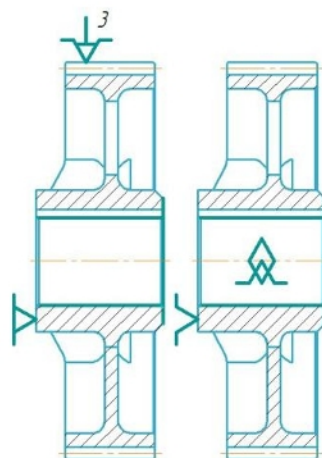


Рис 2.6 – Умовна та теоретична схема базування зубчастого колеса

Змн.	Арк	№ докум.	Підпис	Дата	КНУ.КБР.131.24.1-11.02.ТЧ	Арк.

Шліфувальна операція (обробка лівої сторони):

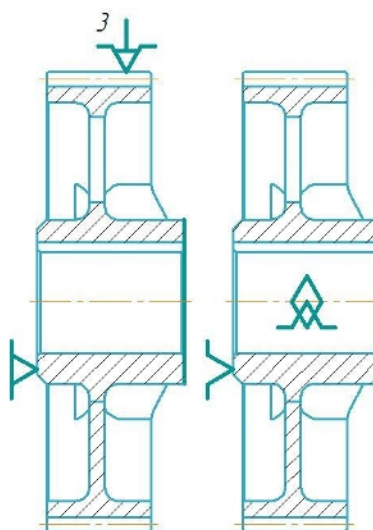


Рис 2.7 – Умовна та теоретична схема базування зубчастого колеса

2.5 Розробка маршрутно-операційної технології обробки деталі

Створення технологічних процесів розпочинається з маршруту обробки деталі (МОД). Цей процес ґрунтуються на аналізі типового та діючого ТП, враховуючи рекомендації на кресленні та плану випуску.

Маршрут обробки деталі – це чіткий план дій, який веде деталь до фінального вигляду. Він окреслює послідовність операцій, що ґрунтуються на методах обробки поверхонь (МОП), розроблених дляожної ділянки. За потреби в МОД додаються заготовчі, термічні, гальванічні та контрольні операції, щоб деталь відповідала всім вимогам. При складанні маршруту рекомендується використовувати типові технологічні процеси, описані в літературі.

Дані заносимо в таблицю 2.4.

Таблиця 2.4 – Маршрут обробки деталі

№ операції	Найменування операції	№ оброблюваної поверхні	№ базової поверхні	Тип, модель верстата
1	2	3	4	5
005	Токарна (чорнова, н/чистова)	1) 1, 2, 3, 6, 7, 8, 10 2) 4, 5, 10	1) 5, 9 2) 1, 9	MICROCUT 52HT
010	Токарна (чистова)	1) 1 2) 5	1) 5, 9 2) 1, 9	MICROCUT 76HT

Змн.	Арк	№ докум.	Підпис	Дата	Арк.
					KNU.KБР.131.24.1-11.02.7Ч

Продовження таблиці 2.4

1	2	3	4	5
015	Розточна	9	3, 5	MICROCUT 76HT
020	Протяжна (протягування пазу)	11	5, 9	GIGANT 7A545
025	Зубообробна (нарізування зубів)	12	5, 9	GearSpect SF 350/500 CNC
030	Шліфувальна	1) 1 2) 5	1) 3, 5 2) 1, 3	JUNKER KARGO 20XL
035	Контрольна	-	1, 5, 9	Стіл ОТК

2.6 Вибір ріжучого і допоміжного інструменту

З урахуванням фізико-механічних властивостей матеріалу деталі, виду обробки і використаних металорізальних верстатів для прийнятих типів металорізальних інструментів, призначаємо матеріал різальної частини, геометричні параметри, матеріал державки (корпусу, хвостовика) інструменту.

1. Позиції: 1, 2, 4, 5 – підрізання торців чорнове:

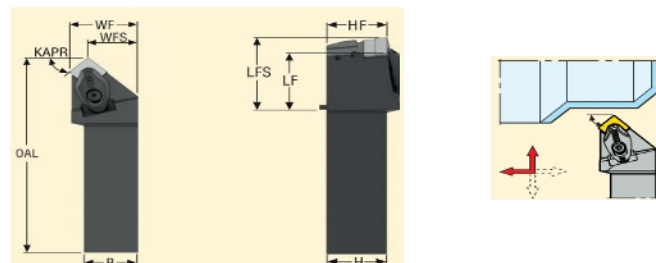


Рисунок 2.8 – Державка DSSNR/L2525X12JETI [1, с. 210]

Геометричні параметри:

$$H = 25 \text{ мм}; B = 25 \text{ мм}; LF = 36 \text{ мм}; WF = 32 \text{ мм}; LFS = 43,9 \text{ мм}; KAPR = 95^\circ; \\ WFS = 24,3 \text{ мм}$$

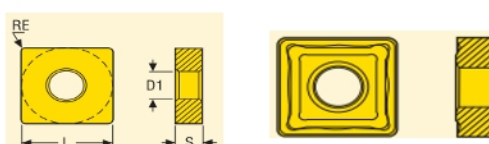


Рисунок 2.9 – Пластина SNMG120416-M5 [1, с. 451]

Змн.	Арк	№ докум.	Підпіс	Дата	Арк.
					KНУ.КБР.131.24.1-11.02.ТЧ

Стружколом: М5

Матеріал: ТР0501

Геометричні параметри:

$L = 12,7 \text{ мм}$; $RE = 1,6 \text{ мм}$; $D1 = 5,15 \text{ мм}$; $AN = 0^\circ$; $S = 4,76 \text{ мм}$; $EPSR = 90^\circ$

2. Позиції: 1, 2, 4, 5 – підрізання торців напівчистове:

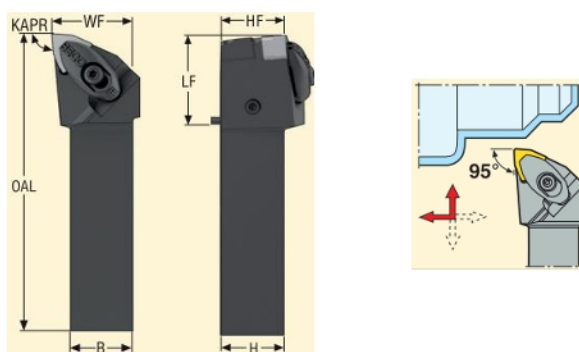


Рисунок 2.10 – Державка DWLNR/L2525X06JETI [1, с. 214]

Геометричні параметри:

$H = 25 \text{ мм}$; $B = 25 \text{ мм}$; $LF = 33 \text{ мм}$; $WF = 32,2 \text{ мм}$; $HF = 20 \text{ мм}$; $KAPR = 95^\circ$;
 $OAL = 117 \text{ мм}$

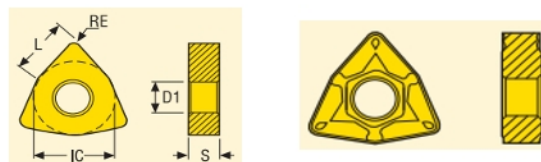


Рисунок 2.11 – Пластина WNMG060408-M3 [1, с. 477]

Стружколом: М3

Матеріал: ТР1501

Геометричні параметри:

$L = 6,5 \text{ мм}$; $RE = 0,8 \text{ мм}$; $D1 = 3,81 \text{ мм}$; $AN = 0^\circ$; $S = 4,76 \text{ мм}$; $EPSR = 80^\circ$

3. Позиції: 1, 5 – підрізання торців чистове:

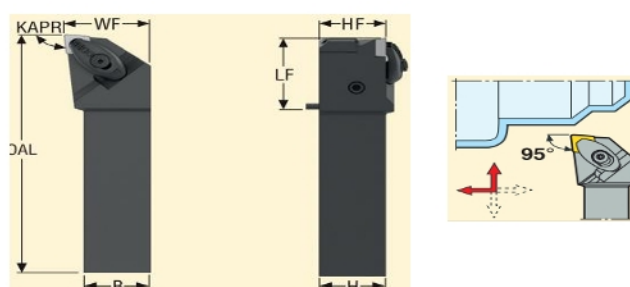


Рисунок 2.12 – Державка DCLCR/L2525X09JETI [1, с. 206]

Змн.	Арк	№ докум.	Підпс	Дата	Арк.
					KНУ.КБР.131.24.1-11.02.ТЧ

Геометричні параметри:

$$H = 25 \text{ мм}; B = 25 \text{ мм}; LF = 36 \text{ мм}; WF = 32,0 \text{ мм}; LH = 38 \text{ мм}; KAPR = 95^\circ$$

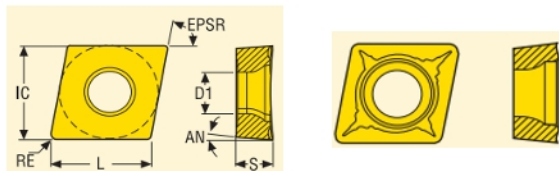


Рисунок 2.13 – Пластина CCGT09T304-F1 [1, с. 419]

Стружколом: F1

Матеріал: TP2501

Геометричні параметри:

$$\begin{aligned} IC &= 9,525 \text{ мм}; L = 9,7 \text{ мм}; RE = 0,4 \text{ мм}; D1 = 4,5 \text{ мм}; AN = 7^\circ; S = 3,97 \text{ мм}; \\ EPSR &= 80^\circ \end{aligned}$$

4. Позиція: 3 – Точіння чорнове:

Використовуємо державку DSSNR/L2525X12JETI (Рис. 2.8)

Використовуємо пластину SNMG120416-M5 (Рис. 2.9)

5. Позиція: 3 – Точіння напівчистове:

Використовуємо державку DWLNR/L2525X06JETI (Рис. 2.10)

Використовуємо пластину WNMG060408-M3 (Рис. 2.11)

6. Позиція: 9 – Розточення чорнове:

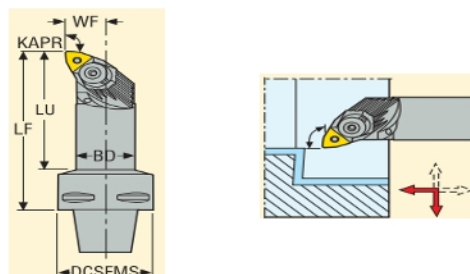


Рисунок 2.14 – Державка C4-PWLNR/L-13080-06 [1, с. 335]

Геометричні параметри:

$$\begin{aligned} BD &= 20 \text{ мм}; DCSFMS = 40 \text{ мм}; LF = 80 \text{ мм}; WF = 13 \text{ мм}; LU = 57 \text{ мм}; \\ KAPR &= 95^\circ \end{aligned}$$

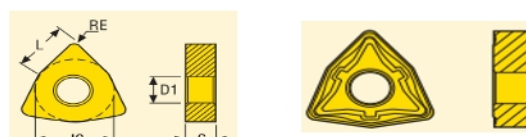


Рисунок 2.15 – Пластина WNMG060412-M5 [1, с. 477]

Змн.	Арк	№ докум.	Підпіс	Дата	KНУ.КБР.131.24.1-11.02.ТЧ	Арк.
------	-----	----------	--------	------	---------------------------	------

Стружколом: М5

Матеріал: ТР0501

Геометричні параметри:

$$\begin{aligned} IC &= 9,53 \text{ мм}; L = 6,5 \text{ мм}; RE = 1,2 \text{ мм}; D1 = 3,81 \text{ мм}; AN = 0^\circ; S = 4,76 \text{ мм}; \\ EPSR &= 80^\circ \end{aligned}$$

7. Позиція: 9 – Розточення напівчистове:

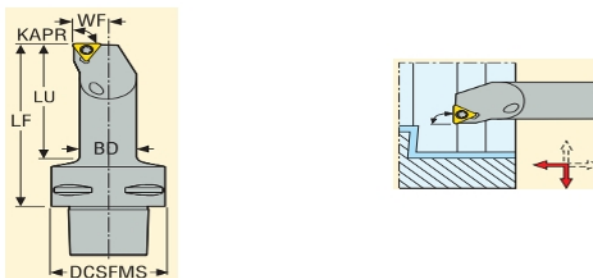


Рисунок 2.16 – Державка С4-STFCR/L-11070-11 [1, с. 343]

Геометричні параметри:

$$\begin{aligned} BD &= 16 \text{ мм}; DCSFMS = 40 \text{ мм}; LF = 70 \text{ мм}; WF = 11 \text{ мм}; LU = 47 \text{ мм}; \\ KAPR &= 90^\circ \end{aligned}$$

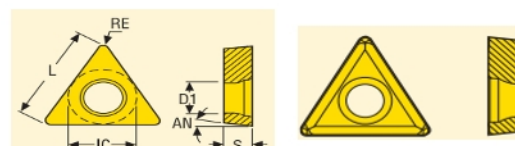


Рисунок 2.17 – Пластина ТСМТ110208-М3 [1, с. 458]

Стружколом: М3

Матеріал: ТР1501

Геометричні параметри:

$$\begin{aligned} IC &= 6,35 \text{ мм}; L = 11 \text{ мм}; RE = 0,8 \text{ мм}; D1 = 2,9 \text{ мм}; AN = 7^\circ; S = 2,38 \text{ мм}; \\ EPSR &= 60^\circ \end{aligned}$$

8. Позиція: 9 – Розточення чистове:

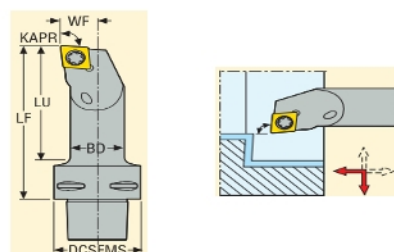


Рисунок 2.18 – Державка С4-SCLCR/L-11070-09 [1, с. 337]

Змн.	Арк	№ докум.	Підпіс	Дата	Арк.
					KHУ.КБР.131.24.1-11.02.ТЧ

Геометричні параметри:

$$\begin{aligned} \text{BD} &= 16 \text{ мм}; \text{DCSFMS} = 40 \text{ мм}; \text{LF} = 70 \text{ мм}; \text{WF} = 11 \text{ мм}; \text{LU} = 47 \text{ мм}; \\ \text{KAPR} &= 95^\circ \end{aligned}$$

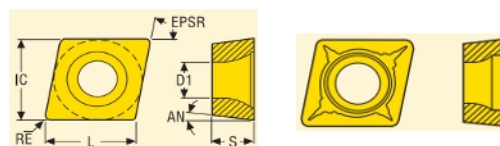


Рисунок 2.19 – Пластина CCMT09T304-F1 [1, с. 421]

Стружколом: F1

Матеріал: TP2501

Геометричні параметри:

$$\begin{aligned} \text{IC} &= 9,53 \text{ мм}; \text{L} = 9,7 \text{ мм}; \text{RE} = 0,4 \text{ мм}; \text{D1} = 4,5 \text{ мм}; \text{AN} = 7^\circ; \text{S} = 3,97 \text{ мм}; \\ \text{EPSR} &= 80^\circ \end{aligned}$$

9. Позиції: 6, 7 – Зняття фаски:

Використовуємо державку DSSNR/L2525X12JETI (Рис. 2.8)

Використовуємо пластину SNMG120416-M5 (Рис. 2.9)

10. Позиції: 8, 10 – Зняття фаски:

Використовуємо державку C4-PWLNR/L-13080-06 (Рис. 2.15)

Використовуємо пластину WNMG060412-M5 (Рис. 2.14)

11. Позиції: 1, 5 – Шліфування попереднє:

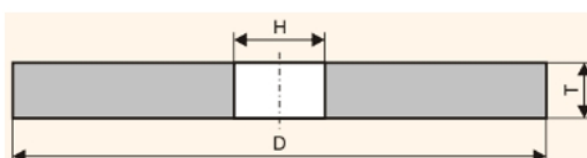


Рисунок 2.20 – Шліфувальний круг
1-175×16×32-25A-40-P-6-V-50-A-1 [2, с. 120]

Матеріал: 25A;

Зернистість: 40;

Твердість: Р;

Структура: 6;

Клас точності: А;

Клас неврівноваженості: 1;

Розміри круга: 175×16×32.

Змн.	Арк	№ докум.	Підпис	Дата

12. Позиція: 9 – Шліфування попереднє:

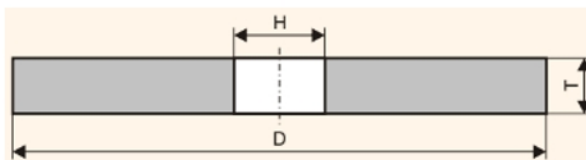


Рисунок 2.21 – Шліфувальний круг
1-108×16×45-25A-40-P-6-V-50-A-1 [2, с. 118]

Матеріал: 25А;

Зернистість: 40;

Твердість: Р;

Структура: 6;

Клас точності: А;

Клас неврівноваженості: 1;

Розміри круга: 108×16×45.

13. Позиція: 11 – протягування пазу:

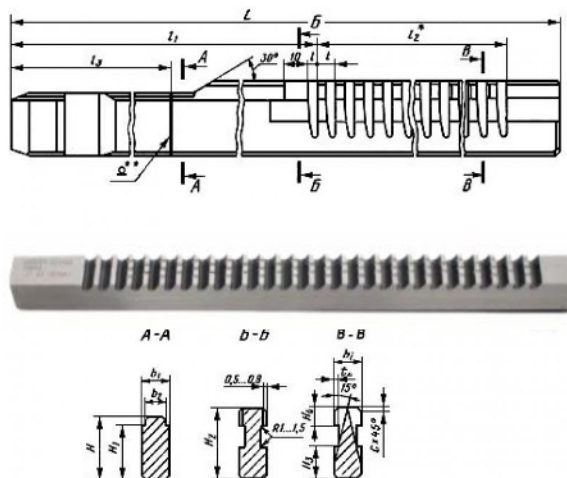


Рисунок 2.22 – Протяжка 2405-1171

Геометричні параметри:

$b_1 = 32,18$ мм; $b_2 = 30,9$ мм; $c = 0,4$ мм; $h_2 = 65,16$ мм; $h_3 = 35$ мм; $H_4 = 16$ мм; $l = 8$ мм; $l_1 = 348$ мм; $l_3 = 240$ мм; $t_0 = 2$ мм

Висота $h = 60$ мм;

Довжина $l = 550$ мм;

Найменування: Протяжка шпонкова 32Js9 2405-1506;

Поле допуску на паз Js9;

Зусилля протягування $P = 59450$ Н;

Змн.	Арк	№ докум.	Підпис	Дата	Арк.
					KNU.KBR.13124.1-1102.TЧ

Число зубів 16;
Крок зуба $t = 12$ мм;
Ширина паза 32 мм.

14. Позиція: 12 – нарізування зубів:

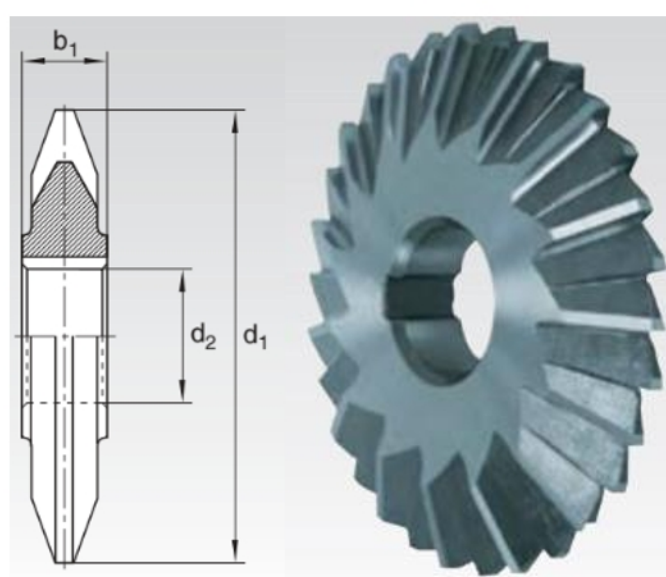


Рисунок 2.23 – Дискова фреза 2500 [3, с. 88]

Геометричні параметри:

$$m = 5,5; \quad d_1 = 100 \text{ мм}; \quad b_1 = 15 \text{ мм}; \quad d_2 = 27 \text{ мм}$$

Матеріал: HSS;

Базовий профіль I відповідно до DIN 3972.

На основі характеристик місць кріплення верстата під ріжучий інструмент та параметрів посадочних місць самих інструментів, необхідно підібрати та встановити ряд допоміжного інструменту до кожного обраного різального інструменту.

Розробку інструментального налагодження проводимо на токарні та свердлильні операції. Операції проводимо на верстатах MICROCUT 52HT, та MICROCUT 76HT.

1. Для різців DSSNR/L2525X12JETI, DWLNR/L2525X06JETI, DCLCR/L2525X09JETI використовуємо ASHN-R/L-VDI40-25-JETI:

Змн.	Арк	№ докум.	Підпис	Дата

КНУКБР.13124.1-11.02.ТЧ

Арк.

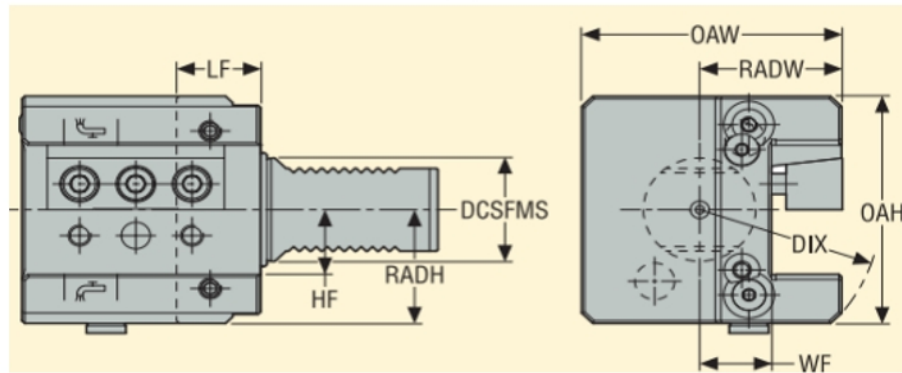


Рисунок 2.24 – Розточний блок ASHN-R/L-VDI40-25-JETI 20 [1, с. 408]

Геометричні параметри:

$HF = 25 \text{ мм}$; $LF = 30 \text{ мм}$; $RADH = 44 \text{ мм}$; $OAH = 88 \text{ мм}$; $DCSFMS = 40 \text{ мм}$; $OAW = 93 \text{ мм}$; $RADW = 43 \text{ мм}$; $DIX = 64^\circ$; $WF = 26 \text{ мм}$

2. Для різців C4-PWLNR/L-13080-06, C4-STFCR/L-11070-11, C4-SCLCR/L-11070-09 використовуємо Coromant Capto C4-R/L-C2040-51030M з кріпленням VDI:

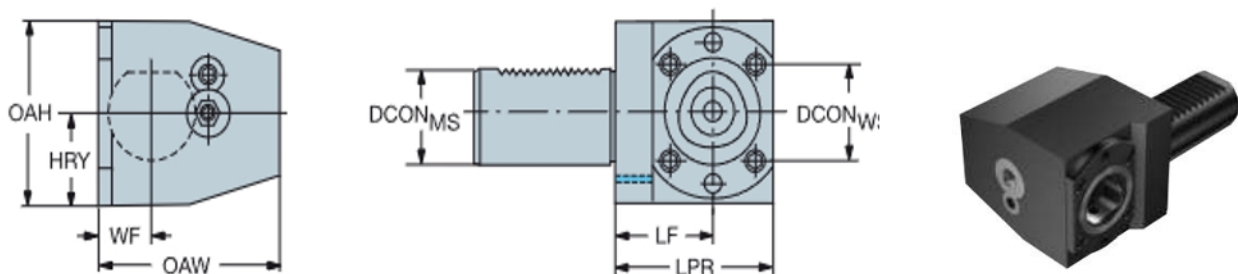


Рисунок 2.25 – Інструментальний блок марки Coromant Capto C4-R/L-C2040-51030M [3, с. E6]

2.7 Вибір засобів технічного контролю

Технічний контроль зубчастого колеса включає ряд вимірювань:

1. Діаметри: Використовуються спеціальні калібри-скоби;
2. Лінійні довжини: Застосовують шаблони;
3. Шорсткість поверхонь:

$R_a 3,2$ – визначається методом порівняння з еталонними зразками шорсткості;

$R_a 1,6 - 0,8$ – вимірюється за допомогою профілометра, який записує профіль нерівностей поверхні та дає значення шорсткості R_a .

Змн.	Арк	№ докум.	Підпис	Дата	Арк.
					KНУ.КБР.13124.1-11.02.ТЧ

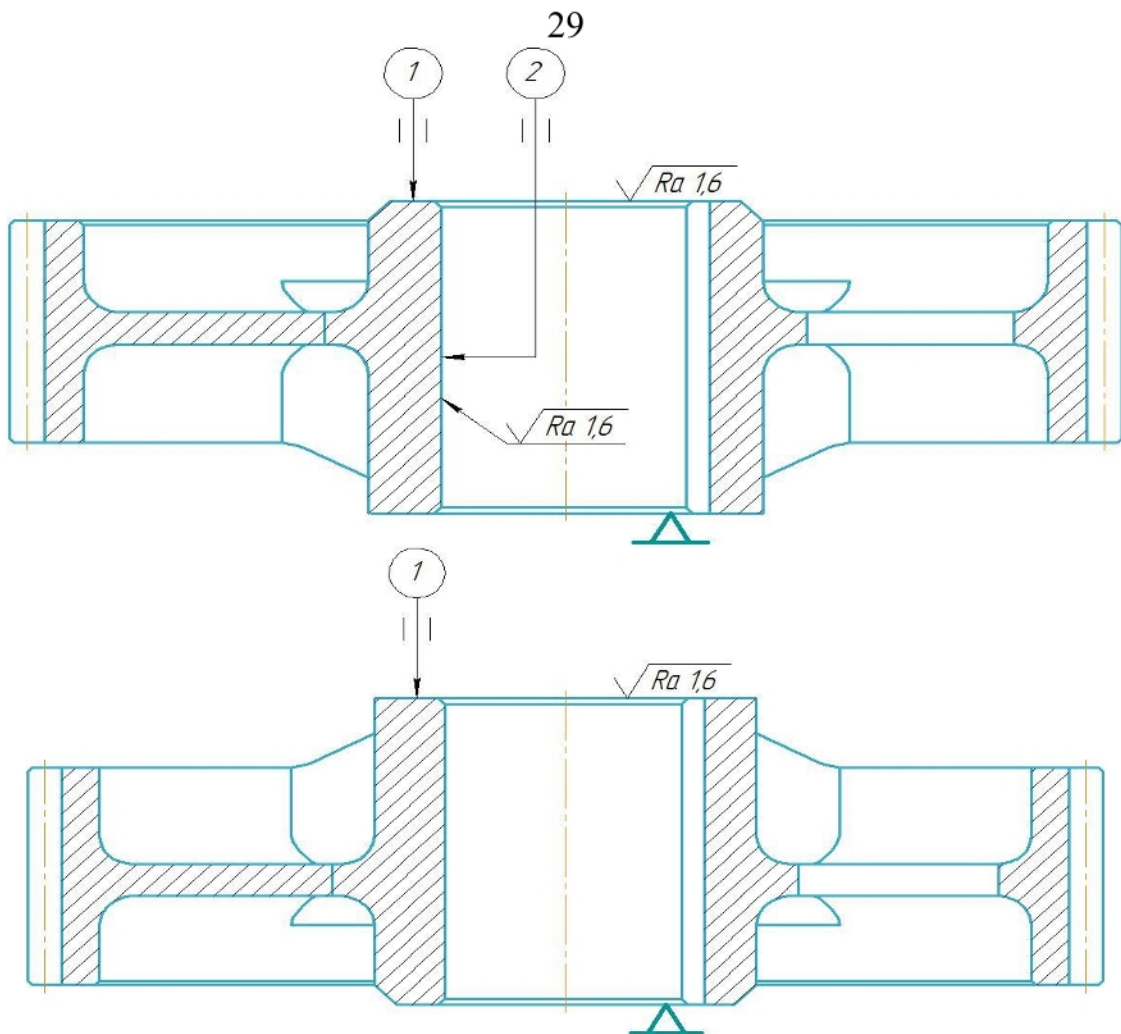


Рисунок 2.26 – Схеми контролю зубчастого колеса

2.8 Визначення режимів обробки

Розрахунок режимів різання - ключова стадія, від якої залежить не лише продуктивність ТП, але й трудомісткість обробки деталі.

Основними способами визначення режимів обробки є аналітичний розрахунок за формулами або з таблиць.

Незалежно від обраного способу, режими роботи потрібно скоригувати згідно з паспортом верстата, а також не перевищувати граничні значення подач і оборотів шпинделя.

1. Розрахунок режимів токарної обробки

1.1 Глибина різання

$$t = (D-d)/2 \quad (2.10)$$

t – глибина різання;

D – діаметр до проходу різця;

d – діаметр після проходу різця.

Змн.	Арк	№ докум.	Підпис	Дата	Арк.
					KNU.KБР.131.24.1-11.02.ТЧ

Підрізання торців:

$$t = 3 \text{ (мм);}$$

$$\text{Чорнове: } t \times 0,5 = 3 \times 0,5 = 1,5 \text{ (мм);}$$

$$\text{Напівчистове: } t \times 0,3 = 0,9 \text{ (мм);}$$

$$\text{Чистове: } t \times 0,2 = 0,6 \text{ (мм).}$$

Точіння:

$$t = (490-484)/2 = 3 \text{ (мм);}$$

$$\text{Чорнове: } t \times 0,6 = 3 \times 0,6 = 1,8 \text{ (мм);}$$

$$\text{Напівчистове: } t \times 0,4 = 3 \times 0,4 = 1,2 \text{ (мм).}$$

Розточення:

$$t = (115-109)/2 = 3 \text{ (мм);}$$

$$\text{Чорнове: } t \times 0,5 = 3 \times 0,5 = 1,5 \text{ (мм);}$$

$$\text{Напівчистове: } t \times 0,3 = 3 \times 0,3 = 0,9 \text{ (мм);}$$

$$\text{Чистове: } t \times 0,2 = 3 \times 0,2 = 0,6 \text{ (мм).}$$

1.2 Робоча подача

При чорновій обробці вибирають максимальну подачу з урахуванням потужності/жорсткості верстата та міцності різального інструменту.

При чистовій обробці вибирають мінімальну подачу, зважаючи на задані параметри шорсткості.

$S = 1 \dots 1,4 \text{ мм/об}$ – згідно з довідкової таблиці.

При чорновій обробці $S = 1,4 \text{ мм/об}$;

При чистовій та напівчистовій обробці $S = 1 \text{ мм/об}$.

1.3 Швидкість різання

Під швидкістю різання в токарній обробці розуміють шлях, який проходить точка різця за одиницю часу, зазвичай за хвилину.

$$V = \frac{\pi \cdot D \cdot n}{1000} \quad (2.11)$$

V – швидкість різання;

D – діаметр заготівлі;

n – кількість оборотів заготівлі.

1. Підрізання торців:

$$\text{Чорнове: } V = \frac{\pi \cdot 490 \cdot 200}{1000} = 307,7 \text{ (м/хв)}$$

$$\text{Напівчистове: } V = \frac{\pi \cdot 490 \cdot 240}{1000} = 369,3 \text{ (м/хв)}$$

$$\text{Чистове: } V = \frac{\pi \cdot 490 \cdot 300}{1000} = 461,6 \text{ (м/хв)}$$

2. Точіння:

$$\text{Чорнове: } V = \frac{\pi \cdot 490 \cdot 200}{1000} = 307,7 \text{ (м/хв)}$$

$$\text{Напівчистове: } V = \frac{\pi \cdot 490 \cdot 240}{1000} = 369,3 \text{ (м/хв)}$$

Змн.	Арк	№ докум.	Підпис	Дата	Арк.
					KNU.KБР.131.24.1-11.02.ТЧ

3. Розточення:

$$\text{Чорнове: } V = \frac{\pi \cdot 115 \cdot 200}{1000} = 72,2 \text{ (м/хв)}$$

$$\text{Напівчистове: } V = \frac{\pi \cdot 115 \cdot 240}{1000} = 86,7 \text{ (м/хв)}$$

$$\text{Чистове: } V = \frac{\pi \cdot 115 \cdot 300}{1000} = 108,3 \text{ (м/хв)}$$

2. Розрахунок режимів протяжної обробки

2.1 Глибина різання

Припуск оброблюваної поверхні – 7,4 мм, глибину різання т приймаємо:

Для чорнового проходу $t = 6,4$ мм;

Для чистового проходу $t = 1,0$ мм.

2.2 Робоча подача

При чорновому протягуванні: $S = 0,7 \dots 1,3$ мм/об;

Приймаємо $S = 1,0$ мм/об.

При чистовому протягуванні: $S = 0,29 \dots 0,32$ мм/об;

Приймаємо $S = 0,3$ мм/об.

2.3 Швидкість різання

Швидкість різання при протягуванні:

$$V = \frac{C_V}{T^m \cdot t^{X_V} \cdot S^{Y_V}} \cdot K_V \quad (2.12)$$

C_V – постійна, табличне значення;

X_V, Y_V – показники ступеня, табличне значення;

$T = 60$ хв – період стійкості інструменту;

t – глибина різання, мм;

S – подача, мм/об;

K_V – поправочний коефіцієнт, який є добутком окремих коефіцієнтів, що приймаються за таблицями.

Для чорнової обробки: $C_V=340$; $X_V=0,15$; $Y_V=0,45$; $m=0,2$; $K_V = 0,9$;

$$V = \frac{340}{60^{0,2} \cdot 6,4^{0,15} \cdot 1,0^{0,45}} \cdot 0,9 = 102 \text{ (м/хв)}$$

Для чистової: $C_V=420$; $X_V=0,15$; $Y_V=0,2$; $m=0,2$; $K_V = 1,5$.

$$V = \frac{420}{60^{0,2} \cdot 1^{0,15} \cdot 0,3^{0,2}} \cdot 1,5 = 353 \text{ (м/хв)}$$

3. Розрахунок режимів зубонарізної операції

3.1 Глибина різання

В процесі обробки колеса зубчастого від необхідної кількості проходів, залежить глибина різання. Для циліндричних коліс з $t \leq 2$ мм та конічних коліс з $t \leq 3$ мм достатньо одного проходу. Колеса з більшим модулем потребують двох проходів.

Змн.	Арк	№ докум.	Підпис	Дата	Арк.
					KNU.KБР.131.24.1-11.02.ТЧ

$m = 5,5$ – обробка буде відбуватися за два проходи.

3.2 Робоча подача

При чорновому проході: $S = 0,39 \dots 0,5$ мм/об;

Приймаємо $S = 0,45$ мм/об.

При чистовому проході: $S = 0,38$ мм/об.

3.3 Швидкість різання

Швидкість різання при обробці циліндричних зубчастих коліс визначається за формулою 2.13:

$$v = \frac{C \cdot z^u \cdot K_i}{T^n \cdot S^x \cdot m^y} \quad (2.13)$$

z – число зубів зуборізного інструменту, шт;

$T = 180$ хв – стійкість зуборізного інструменту;

S – подача, мм/об;

m – модуль, мм;

C, K_i – коефіцієнти;

u, n, x, y – показники ступеня.

Чорнове: $C = 137$; $u = 0$; $n = 0,37$; $x = 0,65$; $y = 0,67$; $K_i = 1,0$.

$$v = \frac{137 \cdot 30^0 \cdot 1,0}{180^{0,37} \cdot 0,45^{0,65} \cdot 5,5^{0,67}} = 9,1 \text{ (м/хв)}$$

Чистове: $C = 208$; $u = 0$; $n = 0,37$; $x = 0$; $y = 0$; $K_i = 1,0$.

$$v = \frac{208 \cdot 30^0 \cdot 1,0}{180^{0,37} \cdot 0,38^0 \cdot 5,5^0} = 30,5 \text{ (м/хв)}$$

2.9 Нормування операцій

Нормування технологічного процесу здійснюють по кожній верстатній операції методом технічного розрахунку по нормативах.

Технічна норма часу незалежно від типу верстата і методу обробки:

$$T_{шк} = T_{шт} + \frac{T_{пз}}{n} \quad (2.14)$$

$T_{шк}$ – норма штучно-калькуляційного часу, хв.;

$T_{шт}$ – норма штучного часу, хв.;

$T_{пз} = 2,3$ хв – норма підготовчо-завершального часу на партію деталей;

$n = 5$ – розмір партії деталей, шт.

1. Підрізання торців:

$$T_{шк} = (2,7 + 3,1 + 2,6) + \frac{2,3}{5} = 9,2 \text{ (хв).}$$

2. Точіння:

$$T_{шк} = (1,1 + 1,2) + \frac{2,3}{5} = 3,1 \text{ (хв).}$$

Змн.	Арк	№ докум.	Підпис	Дата	Арк.
					KNU.KБР.13124.1-11.02.ТЧ

3. Розточення:

$$T_{шк} = (1,3 + 1,4 + 1,3) + \frac{2,3}{5} = 4,8 \text{ (хв).}$$

4. Протягування:

$$T_{шк} = (2,4 + 5,4) + \frac{2,3}{5} = 8,6 \text{ (хв).}$$

5. Нарізання зубів:

$$T_{шк} = (2,5 + 2,9) + \frac{2,3}{5} = 6,2 \text{ (хв).}$$

6. Шліфування:

$$T_{шк} = (2,6 + 3,7) + \frac{2,3}{5} = 7,1 \text{ (хв).}$$

Норма штучного часу:

$$T_{шт} = T_o + T_b + T_{тех} + T_{опр} + T_{пп} \quad (2.15)$$

T_o – основний технологічний час, хв.;

T_b – допоміжний час, хв.;

$T_{тех}$ – час технічного обслуговування робочого місця, хв.;

$T_{опр}$ – час організаційного обслуговування робочого місця, хв.;

$T_{пп}$ – час перерв, хв.

1. Підрізання торців:

Чорнове: $T_{шт} = 1,75 + 0,7 \cdot 0,06 + 1,75 \cdot 0,08 + 1,75 \cdot 0,025 = 2,7$ (хв);

Напівчистове: $T_{шт} = 3,1$ (хв);

Чистове: $T_{шт} = 2,6$ (хв).

2. Точіння:

Чорнове: $T_{шт} = 1,1$ (хв);

Напівчистове: $T_{шт} = 1,2$ (хв).

3. Розточення:

Чорнове: $T_{шт} = 1,3$ (хв);

Напівчистове: $T_{шт} = 1,4$ (хв);

Чистове: $T_{шт} = 1,3$ (хв).

4. Протягування:

Чорнове: $T_{шт} = 2,4$ (хв);

Чистове: $T_{шт} = 5,4$ (хв).

5. Нарізання зубів:

Чорнове: $T_{шт} = 2,5$ (хв);

Чистове: $T_{шт} = 2,9$ (хв).

6. Шліфування:

Попереднє: $T_{шт} = 2,6$ (хв);

Попереднє: $T_{шт} = 3,7$ (хв).

Змн.	Арк	№ докум.	Підпис	Дата	Арк.

Основний час визначається розрахунком для кожного технологічного переходу залежно від методу обробки:

$$T_o = \frac{L_p}{S_m} \cdot i \quad (2.16)$$

L_p – розрахункова довжина обробки (довжина робочого ходу), мм;

S_m – хвилинна подача, мм/хв.

1. Підрізання торців:

Чорнове: $T_o = \frac{490}{280} \cdot 1 = 1,75$ (хв);

Напівчистове: $T_o = \frac{490}{240} \cdot 1 = 2,04$ (хв);

Чистове: $T_o = \frac{490}{300} \cdot 1 = 1,63$ (хв).

2. Точіння:

Чорнове: $T_o = \frac{110}{280} \cdot 1 = 0,39$ (хв);

Напівчистове: $T_o = \frac{110}{240} \cdot 1 = 0,46$ (хв).

3. Розточення:

Чорнове: $T_o = \frac{155}{280} \cdot 1 = 0,55$ (хв);

Напівчистове: $T_o = \frac{155}{240} \cdot 1 = 0,65$ (хв);

Чистове: $T_o = \frac{155}{300} \cdot 1 = 0,52$ (хв).

4. Протягування:

Чорнове: $T_o = \frac{155}{100} \cdot 1 = 1,55$ (хв);

Чистове: $T_o = \frac{155}{37,5} \cdot 1 = 4,13$ (хв).

5. Нарізання зубів:

Чорнове: $T_o = \frac{110}{67,5} \cdot 1 = 1,63$ (хв);

Чистове: $T_o = \frac{110}{57} \cdot 1 = 1,93$ (хв).

6. Шліфування:

Попереднє: $T_o = \frac{170}{100} \cdot 1 = 1,7$ (хв);

Чистове: $T_o = \frac{155}{60} \cdot 1 = 2,58$ (хв).

Допоміжний час встановлюється для кожного технологічного переходу по нормативах і розраховується за формулою:

$$T_B = T_{B.y.} + T_{B.per.} + T_{B.iz.} \quad (2.17)$$

$T_{B.y.}$ – час установки і зняття заготовки, хв.;

$T_{B.per.}$ – час, пов’язаний з переходом, хв.;

$T_{B.iz.}$ – час на вимірювання, хв.

Змн.	Арк	№ докум.	Підпис	Дата	Арк.
					KHUKBR.13124.1-11.02.TЧ

1. Підрізання торців: Тв.у. = 0,22 хв; Тв.пер. = 0,24 хв; Тв.из. = 0,24 хв.
 $T_B = 0,22 + 0,24 + 0,24 = 0,7$ (хв).

2. Точіння: Тв.у. = 0,22 хв; Тв.пер. = 0,24 хв; Тв.из. = 0,18 хв.
 $T_B = 0,22 + 0,24 + 0,18 = 0,64$ (хв).

3. Розточення: Тв.у. = 0,22 хв; Тв.пер. = 0,24 хв; Тв.из. = 0,18 хв.
 $T_B = 0,22 + 0,24 + 0,18 = 0,64$ (хв).

4. Протягування: Тв.у. = 0,15 хв; Тв.пер. = 0,24 хв; Тв.из. = 0,18 хв.
 $T_B = 0,15 + 0,24 + 0,18 = 0,57$ (хв).

5. Нарізання зубів: Тв.у. = 0,22 хв; Тв.пер. = 0,24 хв; Тв.из. = 0,18 хв.
 $T_B = 0,22 + 0,24 + 0,18 = 0,64$ (хв).

6. Шліфування: Тв.у. = 0,22 хв; Тв.пер. = 0,24 хв; Тв.из. = 0,18 хв.
 $T_B = 0,22 + 0,24 + 0,18 = 0,64$ (хв).

Для операції основний технологічний час визначається підсумуванням
 То і Тв по технологічних переходах.

Оперативний час операції:

$$\text{Топ} = \text{То} + \text{T}_B \quad (2.18)$$

1. Підрізання торців:

Чорнове: Топ = 1,75 + 0,7 = 2,45 (хв);

Напівчистове: Топ = 2,04 + 0,7 = 2,74 (хв);

Чистове: Топ = 1,63 + 0,7 = 2,33 (хв).

2. Точіння:

Чорнове: Топ = 0,39 + 0,64 = 1,03 (хв);

Напівчистове: Топ = 0,46 + 0,64 = 1,1 (хв).

3. Розточення:

Чорнове: Топ = 0,55 + 0,64 = 1,19 (хв);

Напівчистове: Топ = 0,65 + 0,64 = 1,29 (хв);

Чистове: Топ = 0,52 + 0,64 = 1,16 (хв).

4. Протягування:

Чорнове: Топ = 1,55 + 0,57 = 2,12 (хв);

Чистове: Топ = 4,13 + 0,57 = 4,7 (хв).

5. Нарізання зубів:

Чорнове: Топ = 1,630 + 0,64 = 2,27 (хв);

Чистове: Топ = 1,930 + 0,64 = 2,57 (хв).

6. Шліфування:

Попереднє: Топ = 1,7 + 0,64 = 2,34 (хв);

Попереднє: Топ = 2,58 + 0,64 = 3,22 (хв).

Змн.	Арк	№ докум.	Підпис	Дата	Арк.
					KHUKBR.13124.1-11.02.TЧ

36
З КОНСТРУКТОРСЬКА ЧАСТИНА

3.1 Вибір технологічного устаткування

При підборі верстатного обладнання фінальним фактором є його здатність забезпечити точну і якісну обробку з найбільшою продуктивністю.

Верстати слід обирати з інформаційної літератури, чітко вказуючи в технологічному процесі їх тип і модель.

Тип металорізального обладнання визначається на основі кількості та визначених технологічних методів обробки.

1. Токарний обробний центр марки MICROCUT моделі 52НТ:

Таблиця 3.1 – Технічні характеристики верстата 52НТ

Найменування параметрів		52НТ
1	2	
Зона обробки		
Макс. Ø заготовки, що встановлюється над станиною, мм		580
Макс. Ø точіння, мм		600
Шпиндель		
Макс. частота обертання шпинделя, об/хв		4500
Потужність головного двигуна, кВт		11
Ø отвору у шпинделі, мм		A2-6
Револьверна головка		
Перетин різця, мм		25 × 25, Ø 40
Кріплення інструмента		VDI 40
Маса та габарити		
Маса, кг		5400
Довжина × ширина × висота, мм		4310 × 1946 × 2030

Змн.	Арк.	№ докум.	Підпис	Дата	<i>КНУКБР.131.24.1-11.03.КЧ</i>		
Розроб.		Лещенко					
Перевір.		Кравцов					
Реценз.							
Н. контр.		Рязанцев					
Затв.		Нечасєв					
Конструкторська частина					Літ.	Арк.	Аркушів
					Кафедра ТМ гр. ПМ-20		

2. Токарний обробний центр марки MICROCUT моделі 76НТ:

Таблиця 3.2 – Технічні характеристики верстата 76НТ

Найменування параметрів	76НТ
1	2
Зона обробки	
Макс. Ø заготовки, що встановлюється над станиною, мм	580
Макс. Ø точіння, мм	600
Шпиндель	
Макс. частота обертання шпинделя, об/хв	3000
Потужність головного двигуна, кВт	15
Ø отвору у шпинделі, мм	A2-8
Револьверна головка	
Перетин різця, мм	25 × 25, Ø 40
Кріплення інструмента	VDI 40
Маса та габарити	
Маса, кг	5500
Довжина × ширина × висота, мм	4310 × 1946 × 2030

3. Горизонтальний верстат для внутрішнього протягування марки GIGANT моделі 7А545:

Таблиця 3.3 – Технічні характеристики верстата 7А545

Найменування параметрів	7А545
1	2
Номінальне тягове зусилля, кН	630
Довжина ходу робочих санок, мм	2000
Найбільший діаметр деталі, мм	800
Швидкість робочого ходу, м/хв	1...7
Габаритні розміри, мм	9135 × 2450 × 2300
Потужність головного приводу, кВт	45
Маса, кг	10850

4. Зубообробний верстат з ЧПК марки GearSpect моделі SF 350/500 CNC:

Таблиця 3.4 – Технічні характеристики верстата SF 350/500 CNC

Найменування параметрів	SF 350/500 CNC
1	2
Найбільший діаметр зачеплення, мм	500
Максимальний модуль, мм	12
Максимальний діаметр фрези, мм	300
Максимальна довжина фрези, мм	300
Діаметр столу, мм	450
Швидкість обертання шпинделя фрези, х ⁻¹	1400
Потужність головного двигуна, кВт	18,5/25,5
Маса верстата, кг	16000
Габарити верстата, мм	2600×5530×3800

5. Круглошліфувальний верстат марки JUNKER моделі KARGO 20XL:

Таблиця 3.5 – Технічні характеристики верстата KARGO 20XL

Найменування параметрів	KARGO 20XL
1	2
Довжина шліфування, мм	5000
Максимальний діаметр шліфувального круга, мм	760
Найбільший діаметр оброблюваної деталі, мм	700/850
Габаритні розміри верстата, мм	9000×3300×2600
Загальна вага, кг	43000

3.2 Вибір пристройів

При виборі пристройів для обробки деталей необхідно керуватися наступними принципами:

1. Забезпечення необхідної точності: Пристрій повинен забезпечувати обробку деталі з заданою точністю, відповідно до технологічних вимог креслення;
2. Максимальна продуктивність: Вибір пристрою повинен ґрунтуватися на досягненні максимальної продуктивності праці;
3. Економічність: Використання пристрою повинно бути економічно вигідним, з урахуванням його вартості, експлуатаційних витрат та економії трудових ресурсів;
4. Безпека: Пристрій повинен відповідати всім вимогам безпеки праці, виключаючи ризики травмування працівників.

Змн.	Арк	№ докум.	Підпис	Дата	Арк.
					KНУ.КБР.131.24.1-11.03.КЧ

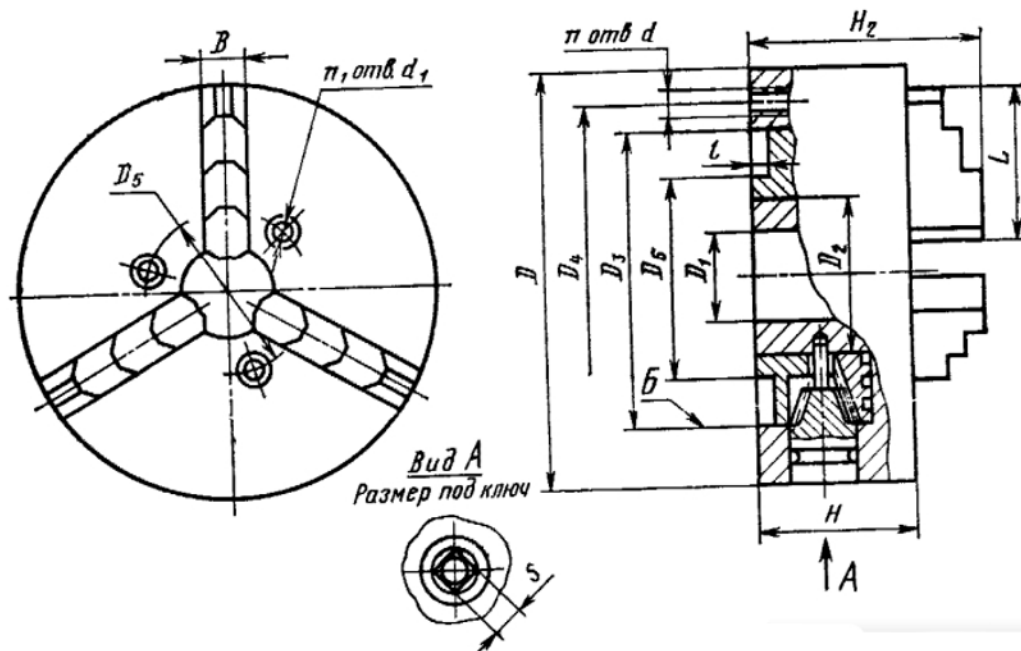


Рисунок 3.1 – Розміри трьохкулачкового патрона

Таблиця 3.6 – Основні розміри патрона

Позначення патрона	D мм	Розмір кінця шпинделя	D ₁	D ₂	H	H ₂	L	B	S	Маса
			мм							кг
1	2	3	4	5	6	7	8	9	10	11
7100-0033	200	6	66	100	85	125	85	28	11	17
7100-0037	250	8	92	125	95	140	105	36	14	31

Таблиця 3.7 – Приєднувальні розміри патрона

Номінальний діаметр патрона	D ₃	D ₄	D ₅	D ₆	d	d ₁	l	n	n ₁
	мм							шт	
1	2	3	4	5	6	7	8	9	10
200	165	180	82,6	110	M10	11	4	3	3
250	210	226	104,8	142	M12	11	5	3	3

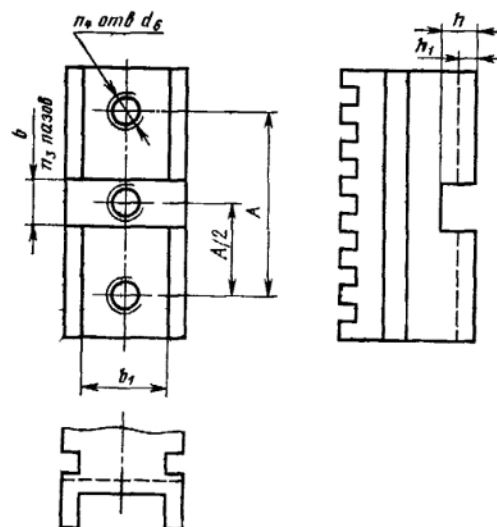


Рисунок 3.2 – Розміри кулачків патрона

Таблиця 3.8 – Розміри кулачків патрона

Діаметр патрона D	h	h1	b	b1	d6	A	n3	n4
							ММ	
1	2	3	4	5	6	9	7	8
200	5	3	15	15	M10	50	1	2
250	7	3	20	20	M12	65	1	2

3.3 Випробовування деталі «Колесо зубчасте» з використанням САЕ технологій

Статичне дослідження в SolidWorks використовують для аналізу навантажень та деформацій, які виникають при експлуатації деталі. При виконанні дослідження будуть побудовані епюри запасу міцності, напружень, переміщень, та відносної деформації, які дають нам змогу переконатися, що конструкція зубчастого колеса витримає всі передбачені навантаження, або виявити потенційні проблеми, які потрібно буде вправити.

3.3.1 Опис налаштувань і параметрів статичного дослідження у SolidWorks Simulation

Для виконання дослідження потрібно спочатку ввімкнути програму SolidWorks Simulation (Рис. 3.3), яка дає нам змогу виконати статичний аналіз.

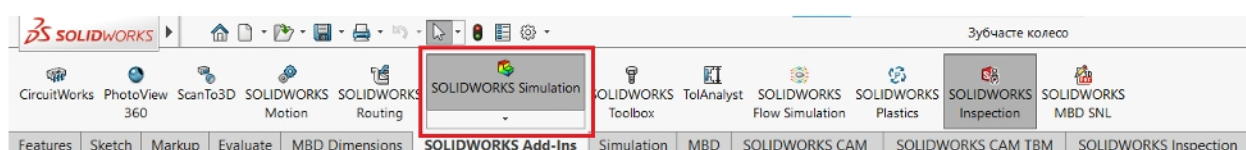


Рисунок 3.3 – Вкладка ввімкнення програми

Змн.	Арк	№ докум.	Підпис	Дата	Арк.
КНУ.КБР.131.24.1-11.03.КЧ					

Створюємо нове дослідження (Рис. 3.4) та обираємо «Static» (Рис. 3.5). Наступним кроком є симуляція закріплення деталі в вузлі механізму. Для цього натискаємо в розділі «Fixtures» (Рис. 3.6) кнопку фіксована геометрія «Fixed Geometry» та призначаємо дану функцію на внутрішню поверхню отвору, так як там відбувається з'єднання зубчастого колеса та обертового валу.

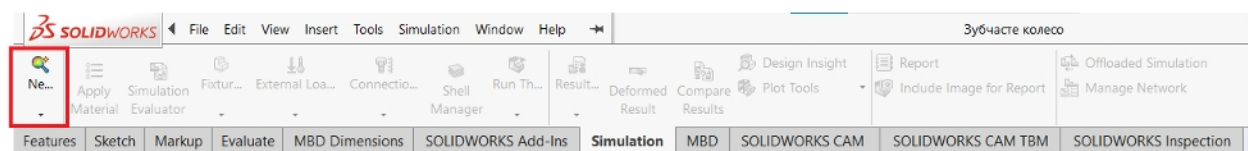


Рисунок 3.4 – Вкладка ввімкнення нового дослідження

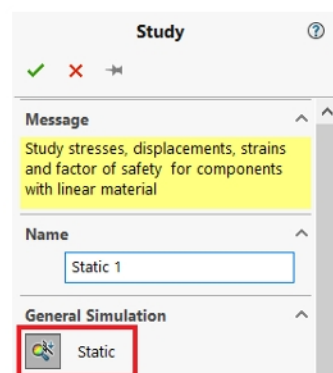


Рисунок 3.5 – Вкладка ввімкнення статичного аналізу

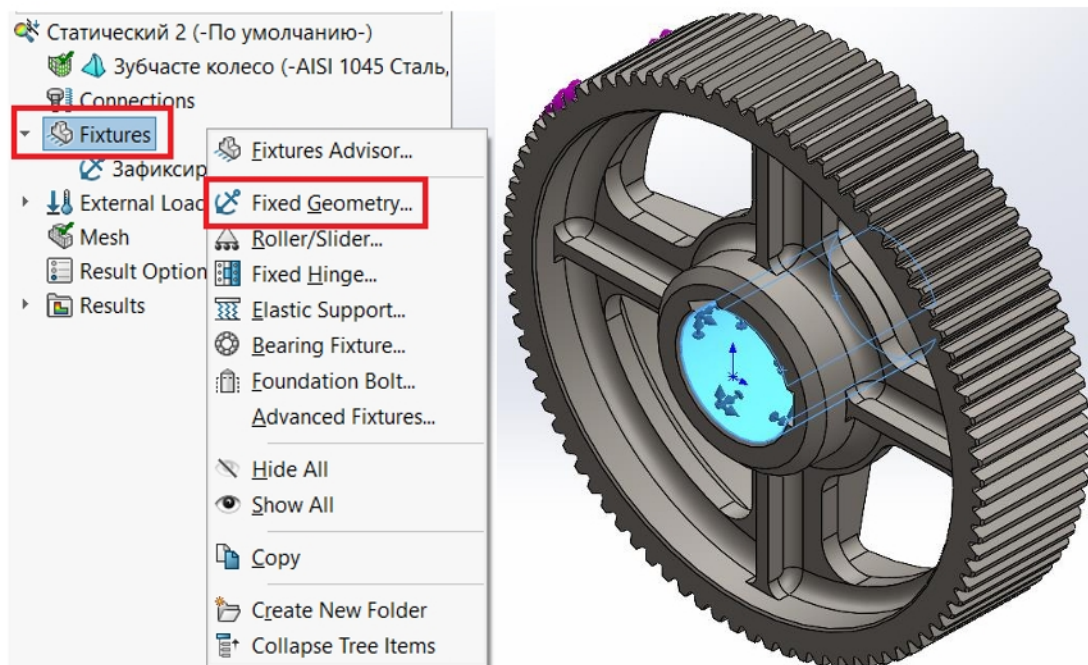


Рисунок 3.6 – Вкладка симуляції кріплень та його створення

Змн.	Арк	№ докум.	Підпис	Дата

Далі потрібно призначити зовнішні навантаження, які діють на зубчасте колесо. Необхідно в розділі «External Loads» (Рис. 3.7) натиснути кнопку обертального моменту «Torque» та вказати два зуба, які перебувають в зачеплені. Потім вписати значення моменту в Н•м.

Перед розрахунком дослідження треба створити сітку. Заходимо в розділ «Mesh» (Рис. 3.8) та вмикаємо генерування сітки «Create Mesh», при цьому налаштовуємо повзунком її якість. Чим кращі параметри сітки, тим точніше виконується розрахунок виробу завдяки більшій кількості розв'язуваних рівнянь.

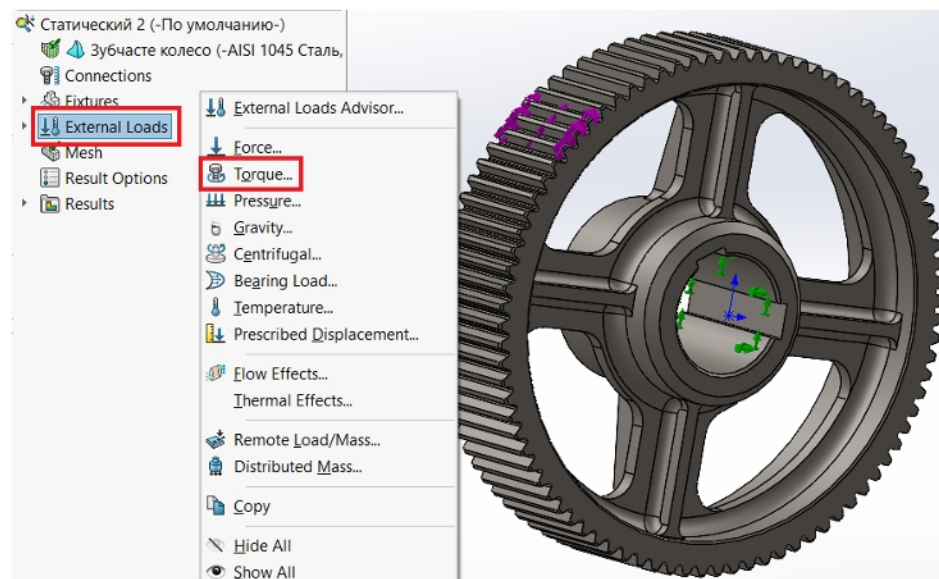


Рисунок 3.7 – Задавання зовнішніх навантажень

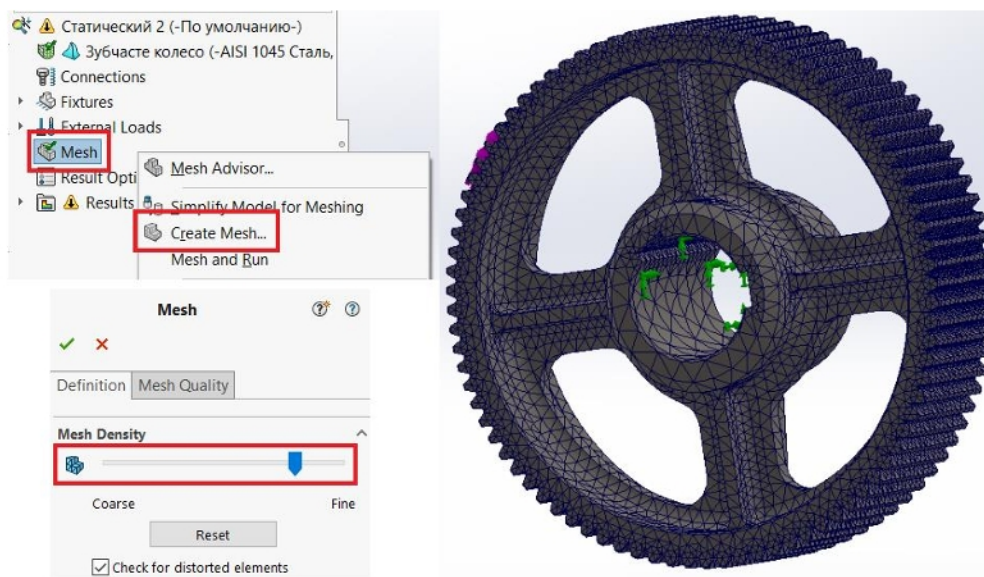


Рисунок 3.8 – Створення сітки

Після створення сітки можна починати розраховувати дослідження натиснувши кнопку «Run This Study» (Рис. 3.9).

Змн.	Арк	№ докум.	Підпис	Дата	Арк.
					KNU.KБР.131.24.1-11.03.КЧ

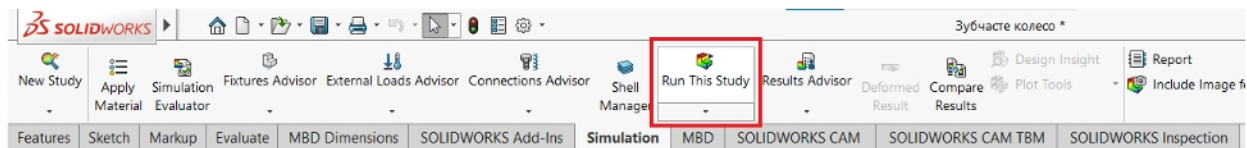


Рисунок 3.9 – Запускання дослідження

Проте, щоб отримати результат близький до реальності необхідно досягти збіжності сітки, це зменшить похибку під час комп'ютерної симуляції процесу навантаження на деталь. Тому необхідно скопіювати дане дослідження та в ньому зробити сітку кращої якості, пересунувши плашку, та порівняти результати епюри напружень та запасу міцності, якщо значення будуть відрізнятися менше ніж на 5%, тоді вважаємо, що ми досягли збіжності сітки та результати аналізу є достовірними.

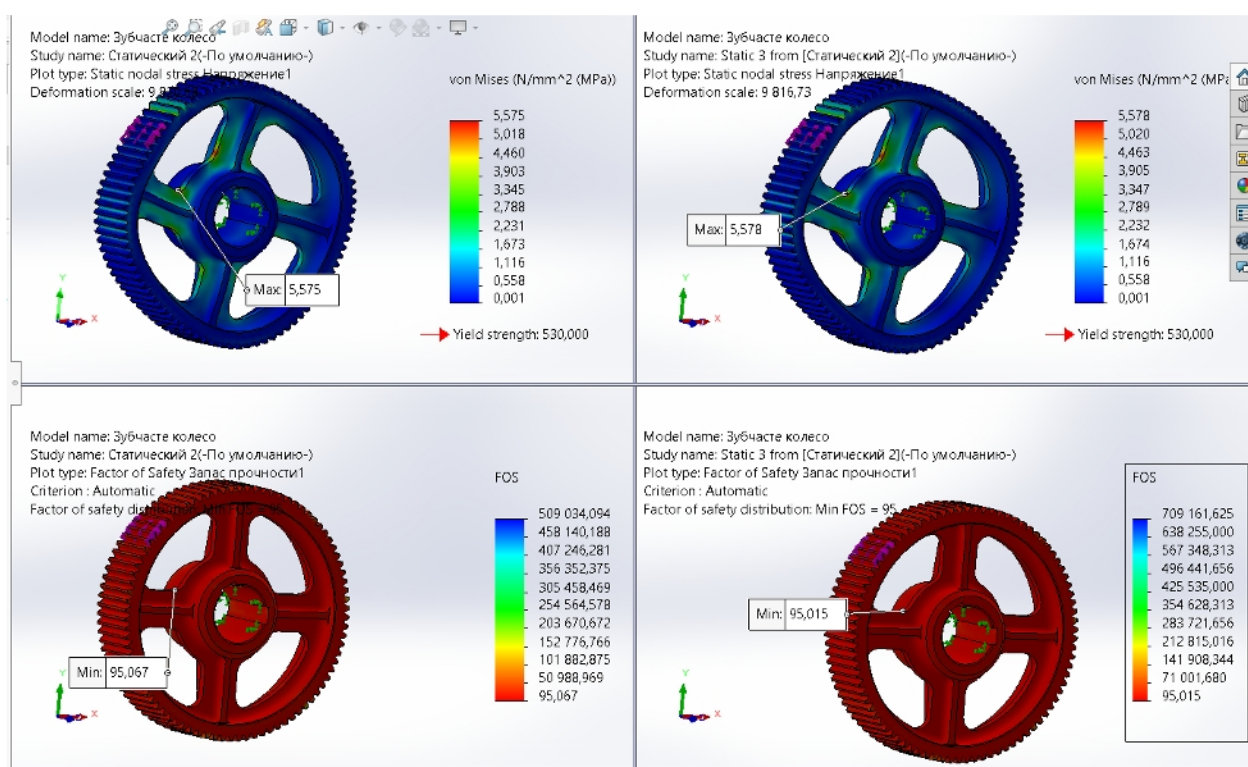


Рисунок 3.10 – Досягання збіжності сітки

При порівнянні результатів розрахунок показав, що різниця між параметрами складає менше 5%, то можна вважати, що збіжність сітки у даному розрахунку досягнута, а результат статичного аналізу вірний.

3.3.2 Інтерпретація результатів обчислення у SolidWorks Simulation

При проведенні статичного дослідження програма згенерувала наступні епюри: напружень, запасу міцності, деформацій та переміщень.

На першій епюрі система візуально показала, що найбільші напруження в деталі будуть виникати на ребрах жорсткості. Також видно як саме буде деформуватися форма деталі під час довгої експлуатації. Оцінюючи

Змн.	Арк	№ докум.	Підпис	Дата	Арк.
					KNU.KBR.13124.1-11.03.КЧ

результати легенди, можна зробити висновок, що пластичних деформацій відбудеться не буде, так як межа текучості зубчастого колеса (290 МПа) більша за максимальні напруження (5,575 МПа), які виникають в процесі роботи деталі.

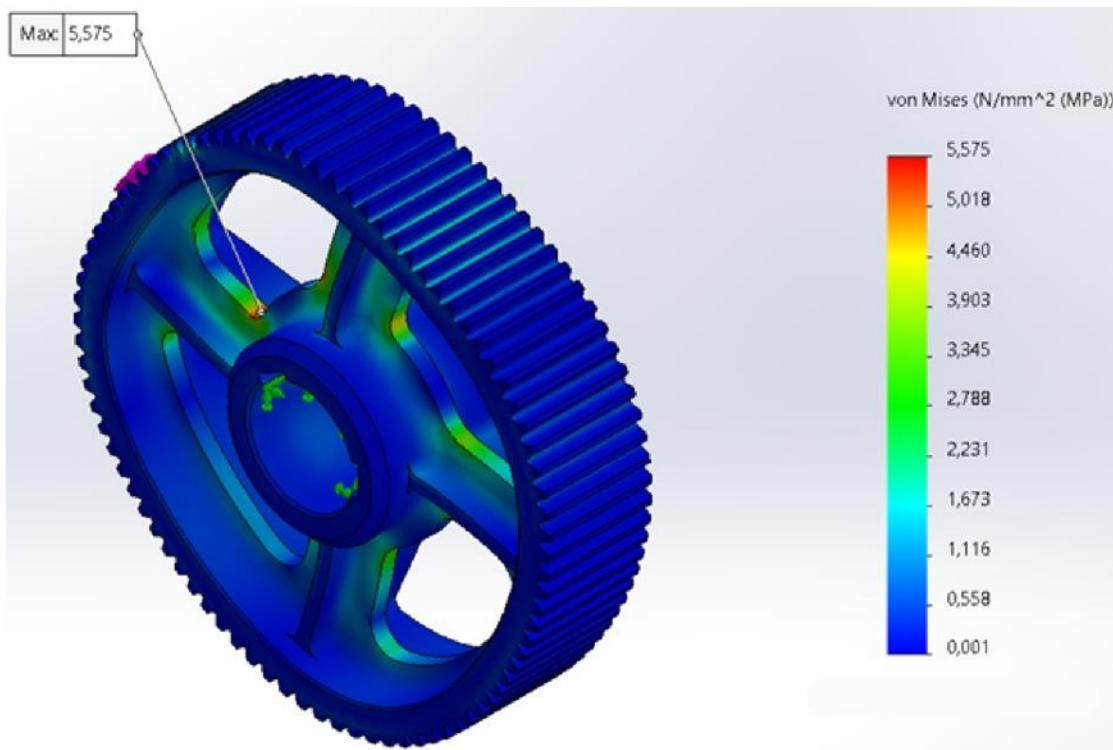


Рисунок 3.11 – Епюра напружень

Аналізуючи епюру переміщень бачимо, що програма виділила ділянку де відбувається зачеплення зубців деталі, саме на ней діють найбільші максимальні переміщення, значення яких досягають 0,005 мм. З цього робимо висновок, що максимальне зміщення зубців від їх початкового положення становить 0,005 мм.

Змн.	Арк	№ докум.	Підпис	Дата

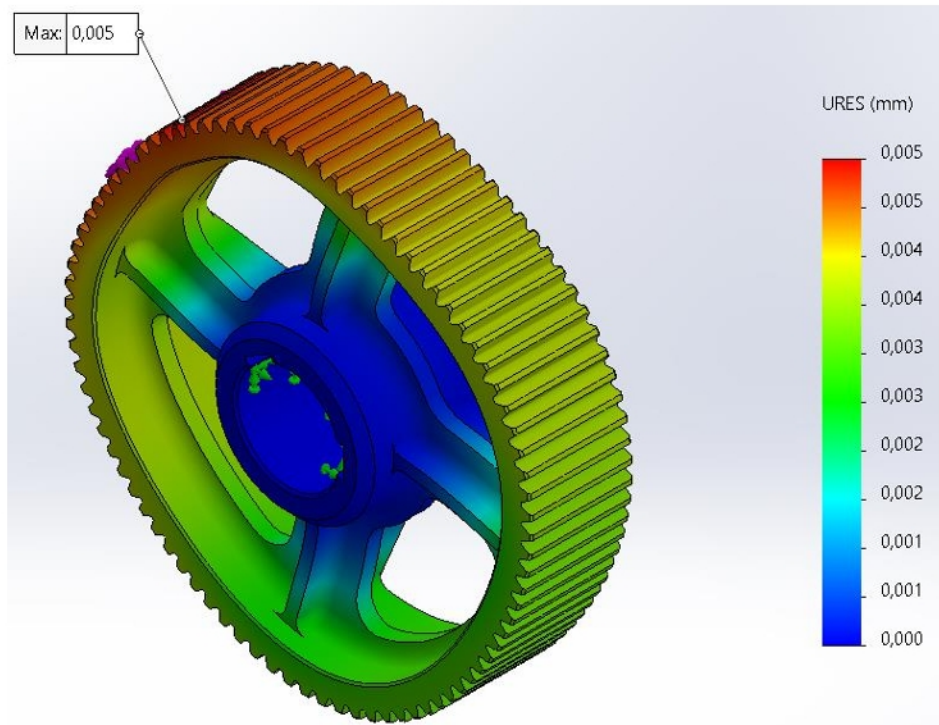


Рисунок 3.12 – Епюра переміщень

На Рис. 3.13 показана епюра деформацій зубчастого колеса. За синім кольором деталі розуміємо, що деформації викликані при роботі деталі незначні, проте вони є, найбільша з них спостерігається там, де виникали максимальні напруження, тобто на ребрі жорсткості зубчастого колеса. Це пояснюється тим, що при дії обертового моменту на деталь, волокна ребра з однієї сторони починають стискатися, а на іншій розтягуватися.

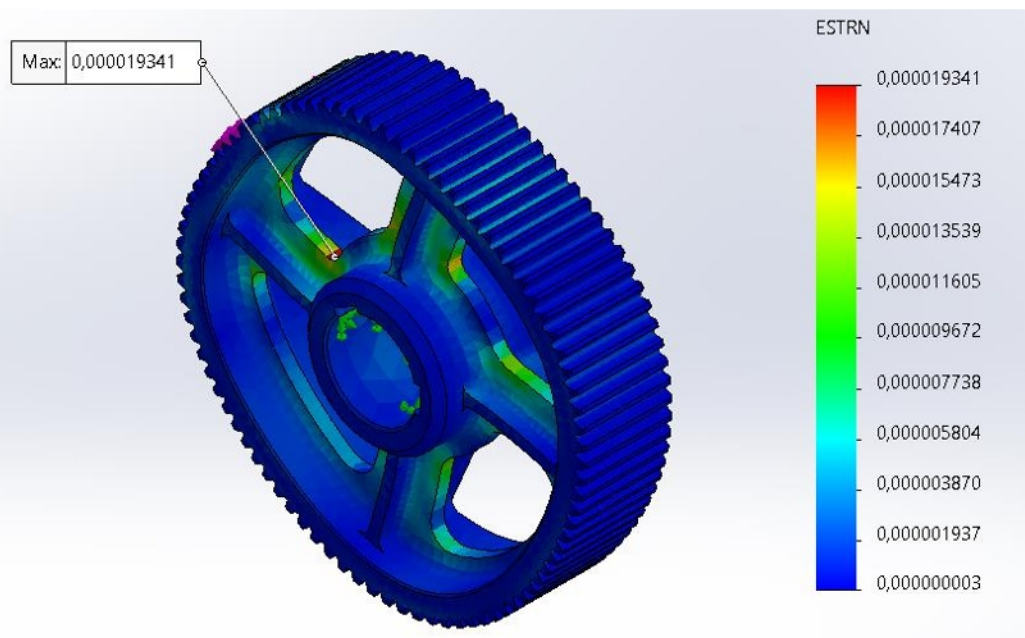


Рисунок 3.13 – Епюра деформацій

Змн.	Арк	№ докум.	Підпис	Дата

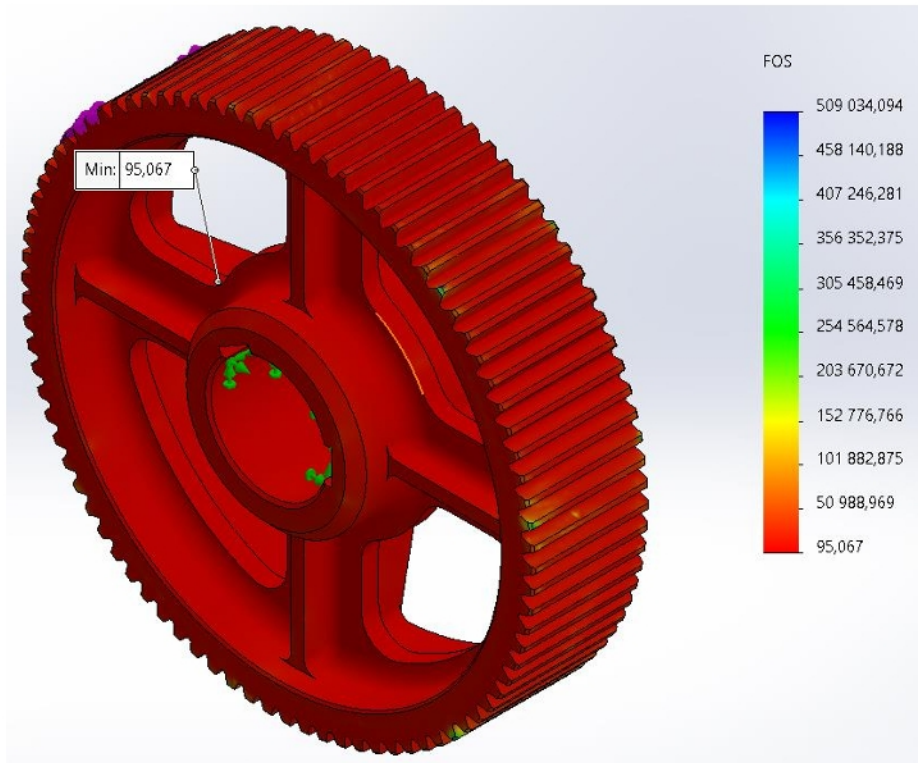


Рисунок 3.14 – Епюра запасу міцності

Епюра запасу міцності демонструє, що більша частина колеса має високий запас міцності, але існують локальні зони зі значно меншими значеннями, проте мінімальний запас міцності на них дорівнює 95,067 одиниць і це є гарним результатом. З цього можна зробити висновок, що мінімальний запас міцності є допустимий для експлуатації деталі з даними зовнішніми навантаженнями.

Проаналізувавши вищезазначені епюри можна зробити висновок, що дане зубчасте колесо витримало прикладені до нього зовнішні навантаження з невеликими деформаціями, напруженнями та переміщеннями.

Змн.	Арк	№ докум.	Підпис	Дата

4 ОРГАНІЗАЦІЙНО-ЕКОНОМІЧНА ЧАСТИНА

4.1 Охорона і безпека праці на виробництві

Сучасне виробництво ставить перед собою безліч задач, однією з яких є створення безпечних та сприятливих умов праці.

Так, під час процесу азотування, дуже важливим є дотримання таких задач охорони праці та безпеки в надзвичайних ситуаціях:

- зниження потрапляння небезпечних речовин в навколишнє середовище;
- гарантування безпеки, а саме: електричної та протипожежної;
- наявність протипроменевого захисту;
- покращенні характеристики умов праці та виробничого освітлення.

Покращення, забезпечення та дотримання умов праці, мають вплив й на економічну сферу, адже знижуються витрати на лікування професійних захворювань та травм, які були отримані на виробництві.

Дію електричного струму й рухомих механізмів відносять до небезпечних виробничих факторів. Оскільки, не правильне використання може стати причиною виникнення небезпечних ситуацій.

Основним небезпечним чинником при азотуванні є насиченість газами робочого простору верстата. Під час процесу азотування в дихальні шляхи можуть потрапити шкідливі речовини. Від середовища, яке застосовують залежить чисельність та насиченість шкідливих речовин. Для того, щоб зменшити у повітрі кількість токсичних речовин, треба використати спеціальний відсмоктувач, що підключений до вентиляційної системи.

Під час процесу азотування, є можливість використання автоматичного устаткування, що надає змогу вилучити спеціаліста з зони де відбувається робочий процес. Проте, для додаткової безпеки варто використовувати індивідуальні засоби захисту, а саме:

- спеціальна уніформа;
- захист органів зору відбувається за допомогою спеціального щита;
- робочий простір верстата, для забезпечення його безпеки додатково огорожується.

На виробництві використовуються спеціальні насоси, через роботу яких відбуваються шум та вібрація, які в свою чергу негативно діють на стан слухових органів верстата. Тому, для забезпечення безпеки працівника варто використовувати шумозахисні навушники.

Змн.	Арк.	№ докум.	Підпис	Дата	КНУ.КБР.131.24.1-11.04.0ЕЧ		
Розроб.		Лещенко					
Перевір.		Кравцові					
Реценз.							
Н. контрол.		Рязанцев					
Затв.		Нечасєв					
ОРГАНІЗАЦІЙНО-ЕКОНОМІЧНА ЧАСТИНА					Літ.	Арк.	Аркушів
					Кафедра ТМ		
					гр. ПМ-20		

Для забезпечення комфорtnого середовища праці важливе місце займає освітлення робочого місця працівника. Воно впливає на зменшення виробничих травм, захист очей та збільшує результативну діяльність в цілому. Найчастіше для площі, яка призначена для процесу азотування використовують повне і комплексне освітлення. Робочий простір освітлюють штучним і природним світлом.

Окрім вимог до організації безпечних та сприятливих умов праці, висуваються вимоги до безпеки в надзвичайних ситуаціях. Так на підприємстві можуть виникати надзвичайні ситуації, їх для виключення можливості появи небезпеки та її усунення є спеціальні плани усунення небезпеки.

Основними небезпечними ситуаціями на підприємстві є виникнення пожежі, порушення роботи техніки, потрапляння шкідливих речовин в навколишнє середовище. Також не виключена можливість поєднання декількох видів небезпечних ситуацій.

Для того, щоб встановити стан небезпечної ситуації необхідно розподіляти вірогідні та не вірогідні ситуації, що можуть статись на виробництві й несуть за собою руйнівні наслідки.

Діагностика імовірності появи небезпеки може виконуватись з урахуванням характерного функціонування техніки, шкідливих властивостей сировини, що застосовують на підприємстві. Необхідно зважати на критерії стану сировини та техніки, які належать як до звичайного, так і до аварійного становища. На підприємстві, цеха де відбувається процес азотування, відносяться до класу Г.

Пожежна безпека є невід'ємною частиною створення нормальних умов праці на підприємствах. Так на виробництві пожежна безпека гарантується:

1. За умови потужного захисту від загорання ізоляції.
2. Забезпечення зниження появи горючого осередка.
3. Застосування спеціального пристрою, для автоматичного виявлення пожеж у виробничому приміщенні.
4. Наявність вогнегасників класу Е.
5. Виконання вимог електробезпеки.

Окрім пожежі, може виникнути така небезпечна ситуація як витік електричної напруги. І якщо напруга пробилася на зварювальний апарат, то потрібно виключити вимикач і повідомити вищий орган управління. Якщо апарат загорівся то потрібно вимкнути вимикач і загасити полум'я за допомогою вогнегасника. У разі, якщо під напругу потрапив робітник то потрібно вимкнути апарат за допомогою вимикача, перенести постраждалого на дерев'яну поверхню, підложить під голову валик з тканини та чекати прибуття швидкої допомоги. За необхідності зробити штучне дихання.

Змн.	Арк	№ докум.	Підпис	Дата	Арк.
					KНУ.КБР.13124.1-11.04.0ЕЧ

4.2 Оцінка техніко-економічної ефективності виробництва

Токарна обробка зубчастого колеса відбувається на токарному обробному центрі марки MICROCUT моделі 52НТ, проте потрібно зрозуміти, чи є доцільним та економічно вигідним використання даного верстата порівняно з базовими та більш дешевими варіантами. Порівнювати наш верстат будемо з токарно-карусельним вертикальним двостійковим верстатом 1М553 та горизонтально-розвивальним верстатом 2А637Ф4.

Спочатку порівняємо за яку ціну можна придбати дані верстати:

Базовий варіант						Новий варіант										
1М553	Kб =	Ц	·	α	·	β	52НТ	Kб =	Ц	·	α	·	β			
	29040	110000,00		1,1		0,24		582720	4200000,00		1,1		0,13			
2А637Ф4	Kб =	Ц	·	α	·	β	Всього Kб2		582720							
	191784	1800000,00		1,1		0,10										
-	Kб =	Ц	·	α	·	β										
	0	0		1,1		0,00										
-	Kб =	Ц	·	α	·	β										
	0	0		1,1		0,00										
Всього Kб1	220824															

Рисунок 4.1 – Балансова вартість верстата

На розрахунку видно, що два базових верстата будуть коштувати дешевше ніж один новий, проте продовжуємо подальший розрахунок та перейдемо до вартості приміщень, які будуть займати верстати.

Базовий варіант						Новий варіант											
1М553	Kб =	Цпнзя	(A + Ay)	·	γ	·	β	52НТ	Kб =	Цпнзя	(A + Ay)	·	γ	·	β		
	7501	500	25,002	0	2,5		0,24		6590,28571	500	52	0,25	2	0,13			
2А637Ф4	Kб =	Цпнзя	(A + Ay)	·	γ	·	β	Всього Kб2		6590,29							
	4859	500	48,72	1,44	2		0,10										
-	Kб =	Цпнзя	(A + Ay)	·	γ	·	β										
	0	0	0	0	0		0,00										
-	Kб =	Цпнзя	(A + Ay)	·	γ	·	β										
	0	0	0	0	0		0,00										
Всього Kб1	12359																

Рисунок 4.2 – Вартість приміщень, які займає верстат

Так як один верстат буде займати менше місця, то і коштів на його розміщення потрібно витрачати менше, ніж за два верстати.

Розраховуємо вартість службово- побутових приміщень:

Змн.	Арк	№ докум.	Підпис	Дата	Арк.
					KНУ.КБР.13124.1-11.04.0ЕЧ

<u>Базовий варіант</u>						
$K_{сл} = Ц_{пл.б} \cdot A_б \cdot (P_{ст} + P_n + P_{дод} + P_k)$						
49000	1000	7	2	3	1	1
Всього $K_{сл1}$	49000					
<u>Новий варіант</u>						
$K_{сл} = Ц_{пл.б} \cdot A_б \cdot (P_{ст} + P_n + P_{дод} + P_k)$						
28000	1000	7	1	1	1	1
Всього $K_{сл2}$	28000					

Рисунок 4.3 – Вартість службово-побутових приміщень

Бачимо, що утримання двох верстатів є менш економічним, через те, що потрібно більше робітників, які повинні обслуговувати верстати та для них потрібні спеціальні службово-побутові приміщення, на які також потрібно витрачати кошти.

Капітальні вкладення споживача						
$K = K_b + K_{зд} + K_{сл} + K_{нез} + K_{пр} + K_{п.у.}$						
де K_b – балансова вартість верстата, грн;						
$K_{зд}$ – вартість приміщення, яке займає верстат, грн.;						
$K_{сл}$ – вартість службово-побутових приміщень, грн.;						
$K_{нез}$ – обігові кошти в незакінченому виробництві, грн.;						
$K_{пр}$ – вартість комплекту спеціальних пристосувань, які використовуються на верстатах при обробці деталей, грн.;						
$K_{п.у.}$ – витрати на створення керуючої програми (КП), грн.						
K_b	$K_{зд}$	$K_{сл}$	$K_{нез}$	$K_{пр}$	$K_{п.у.}$	
$K_1 = 220824 + 12359 + 49000 + 23531 + 0 + 2800 = 308514$						
$K_2 = 582720 + 6590 + 28000 + 8498 + 0 + 4320 = 630128,40$						

Рисунок 4.4 – Капітальні вкладення споживача

Проте говорячи про капітальні вклади, на утримання нового верстата буде витрачатися більше коштів.

Змн.	Арк	№ докум.	Підпис	Дата	Арк.
					<i>КНУ.КБР.13124.1-11.04.0ЕЧ</i>

Приведені витрати				
31	=	C1 + E _н · K1		
171824		125547	0,15	308514
32	=	C2 + E _н · K2		
170517		75998	0,15	630128

Річний економічний ефект				
E	=	31 - 32		
1307		171824	170517	

Строк окупності				
T _{ок} =	(K ₂ - K ₁) / (C ₁ - C ₂)			
6,49	630128	308514	125547	75998,1

Рисунок 4.5 – Витрати на окупність

Бачимо, що витрати будуть схожими, проте новий верстат все ж таки буде витрачати менше, і через 6,5 років зможе окупитися повністю.

Так, як верстатників буде більше для утримання двох верстатів, ніж для одного, то коштів на виплату заробітних плат та зарплат за наладку верстатів буде витрачатися більше.

Базовий варіант					Новий варіант				
1M553	И _з =	H _{ст.зар} · T _{шт} / d			52HT	И _з =	H _{ст.зар} · T _{шт} / d		
	39037	55,85	699	1		7086	50,03	424,9	3
2A637Ф4	И _з =	H _{ст.зар} · T _{шт} / d			Всього И _{з2}		7086		
	6912	52,74	262,08	2					
	И _з =	H _{ст.зар} · T _{шт} / d							
	0	0,00	0	0					
	И _з =	H _{ст.зар} · T _{шт} / d							
	0	0	0	0					
Всього И _{з1}		45949							

Рисунок 4.6 – Зарплата верстатника

Базовий варіант					Новий варіант				
1M553	И _н =	H _{нал} · Т _н			52HT	И _н =	H _{нал} · Т _н		
	871,78	52,84	16,5			1963,27	53,94	36,4	
2A637Ф4	И _н =	H _{нал} · Т _н			Всього И _{н2}		1963,27		
	1607,47	44,34	36,25						
	И _н =	H _{нал} · Т _н							
	0,00	0,00	0						
	И _н =	H _{нал} · Т _н							
	0,00	0,00	0						
Всього И _{н1}		2479,25							

Рисунок 4.7 – Зарплата за наладку верстата

Змн.	Арк	№ докум.	Підпис	Дата	КНУКБР.13124.1-11.04.0ЕЧ	Арк.

Розрахуємо, як будуть витрачатися кошти при ремонті обладнання:

Базовий варіант							Новий варіант											
1M553	$I_p = (H_m \cdot R_m + H_e \cdot R_e) \cdot \mu \cdot \beta$	5795,8	401	51	86	43	1	0,24	52НТ	$I_p = (H_m \cdot R_m + H_e \cdot R_e) \cdot \mu \cdot \beta$	7523,9	272	100	60	99	1,8	0,13	
2A637Ф4	$I_p = (H_m \cdot R_m + H_e \cdot R_e) \cdot \mu \cdot \beta$	3606,9	329	97	71	75	1	0,10	Всього I_p									7523,9
-	$I_p = (H_m \cdot R_m + H_e \cdot R_e) \cdot \mu \cdot \beta$	0,0	0	0	0	0	0	0,00										
-	$I_p = (H_m \cdot R_m + H_e \cdot R_e) \cdot \mu \cdot \beta$	0,0	0	0	0	0	0	0,00										
Всього I_p									9402,6									

Рисунок 4.8 – Витрати на ремонт та технічне обслуговування обладнання

Базовий варіант			Новий варіант							
1M553	$I_y = Q \cdot \beta$	0	0	0,24	FOUR-STAR FD	$I_y = Q \cdot \beta$	1507,3	11950	0,13	
2A637Ф4	$I_y = Q \cdot \beta$	832,99935	8600	0,10	Всього I_y					1507,3
6610	$I_y = Q \cdot \beta$	0	0	0,00						
4-ий верстат	$I_y = Q \cdot \beta$	0	0	0,00						
Всього I_y					833,0					

Рисунок 4.9 – Витрати на технічне обслуговування і ремонт ЧПК

Підсумовуючи розрахунки: Система ЧПК на сучасному верстаті і потребує більше коштів та вкладів, теж саме можна сказати і про ремонт, проте хоч по одинці базові верстати дешевші, проте ми використовуємо їх в парі, і тому їх ціна за ремонт вища.

Можливо всі вище зазначені плюси та мінуси не дають повністю зрозуміти картину, тому будемо розраховувати собівартість механічної обробки річного випуску деталей:

Собівартість механічної обробки річного випуску деталей												
$C = I_z + I_n + I_{in} + I_{nk} + I_{pr} + I_{uspl} + I_a + I_{al} + I_{sl} + I_p + I_y + I_k$												
де I_z – зарплатня верстатника;												
I_n – зарплатня за наладку верстата;												
I_{in} – зарплатня налагоджувальника інструмента поза верстатом;												
I_{nk} – витрати на підготовку та поновлення керуючої програми;												
I_{pr} – витрати на ремонт та утримання спеціальних пристосувань;												
I_{uspl} – витрати на прокат універсально-збірних												
I_a – амортизаційні відрахування на повне відновлення обладнання;												
I_{al} – витрати на утримання приміщення, яке займає верстат;												
I_{sl} – витрати на амортизацію і утримання службово-побутових приміщень;												
I_p – витрати на ремонт та технічне обслуговування обладнання;												
I_y – витрати на технічне обслуговування і ремонт ЧПК;												
I_k – зарплатня контролера												
$C_1 = 45949 + 2479,25 + 376,74 + 933,33 + 0 + 0 + 8832,94 + 4449,31 + 49000 + 9402,65 + 833 + 3290,90 = 125547,00$												
$C_2 = 7086 + 1963,27 + 0,00 + 1440,00 + 0 + 0 + 23308,80 + 2636,11 + 28000 + 7523,9 + 1507,3 + 2532,52 = 75998,08$												

Рисунок 4.10 – Собівартість механічної обробки річного випуску деталей

Змн.	Арк	№ докум.	Підпис	Дата	Арк.
					KNU.KBR.13124.1-11.04.0EЧ

Собівартість механічної обробки в 1,5 рази дешевше ніж з використанням базових верстатів. Тому робимо висновок, що використання токарного обробного центру марки MICROCUT моделі 52НТ є доцільним в порівнянні з базовими аналогами.

4.3 Організація виробництва із застосуванням сучасних технологічних рішень

Як було зазначено у п. 1.1, деталь «Колесо зубчасте» піддають гартуванню при температурі 860–880°C з охолодженням у олії та відпуску при 630–650°C з охолодженням на повітрі.

Після даної термічної обробки мікроструктура сталі 45Л складається з троститу та фериту (Рис. 4.11), при цьому твердість складає 311-321 НВ.

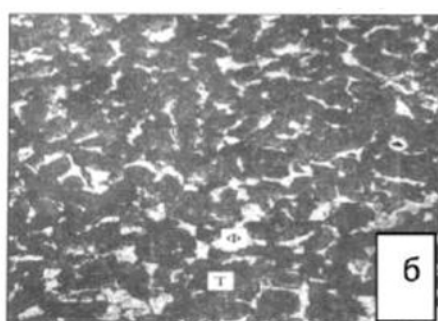


Рисунок 4.11 – Мікроструктура сталі 45Л після базової термічної обробки [11]

Наявність фази фериту у структурі сталі бажана усередині тіла колеса із метою надання помірної пластичності та зниженню хрупкості ребрам жорсткості. Одночасно з тим присутність фериту у поверхневих шарах призводить до підвищення зношуваності внаслідок його пластичності та в'язкості. Таким чином колесо має низький показник надійності. Тому деталі Колесо зубчасте доцільно провести іншу або додаткову термічну або хімико-термічну обробку із метою підвищення зносостійкості робочої поверхні зубців.

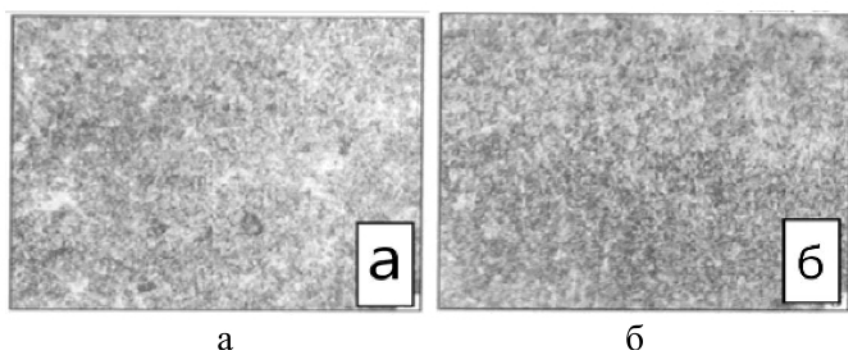


Рисунок 4.12 – Мікроструктура гартування СВЧ

Змн.	Арк	№ докум.	Підпис	Дата

КНУ.КБР.13124.1-11.04.0ЕЧ

Арк.

Автори [11] зазначають, що гартування поверхні високоенергетичними джерелами, тобто, струмами високої частоти, призведе до утворення на поверхні шару безструктурного мартенситу із твердістю 524 НВ (рис 4.12 а), а мікроструктура у середині деталі складатиметься із сорбіту (277-293 НВ) (рис. 4.12 б). Утворення таких мікроструктур однозначно вплине на твердість поверхні, але необов'язково вплине на зниження зношуваності. Дані у [11] про зношуваність поверхні відсутні. Крім того, загально відомо, що на зношуваність значно впливає легування сплаву джерелами концентрованої енергії, тобто, утворення спеціальних карбідів, нітридів, боридів, тощо.

Із метою поверхневого зміцнення часто виконується хіміко-термічна обробка доевтектоїдних нелегованих сталей [11-14]. Наприклад, у [11] показано оптимальний режим азотування сталі 45 при наступних параметрах: тиск у вакуумній камері 240–250 Па і концентрація аргону до 20–25%. При такому режимі азотування досягалася максимальна зона азотованого шару – 0,2 мм. А мінімальний знос сталі 45 отримано при тиску у вакуумній камері 200 Па і об'ємній концентрації аргону 30–33%, температура 570°C, час 240 хв. Ми вважаємо, що зміцнення на глибину 0,2 мм є недостатнім для експлуатаційних умов роботи Колеса зубчастого, а у роботах [12, 13] досягнуто кращого результату проникнення азоту вглиб деталі – до 0,45 мм.

Автори [12, 13] зазначають, що для покращення твердості та зносостійкості перед азотуванням можна використати легування джерелами концентрованої енергії тільки важливих ділянок деталі. У даних дослідженнях джерелами концентрованої енергії є лазерне опромінення. Дослідження показало, що якщо проводити лише азотування, тоді товщина буде складати 0,17 мм, а попереднє лазерне опромінення деталі збільшило легований шар до 0,45 мм, через те, що на поверхні утворилася більш пориста мікроструктура, а саме, зерна стали протяжніші, збільшилася площа проникнення між зернами, тому підвищилася швидкість дифузії азоту і його відсотковий вміст. За даними дослідження [13] без лазерної обробки вміст азоту сягнув 0,071%, а за наявності опроміненої поверхні – 0,14-0,15%. Також завдяки цьому значно зменшився час азотування – найбільше насичення структури азотом відбувається у першу годину.

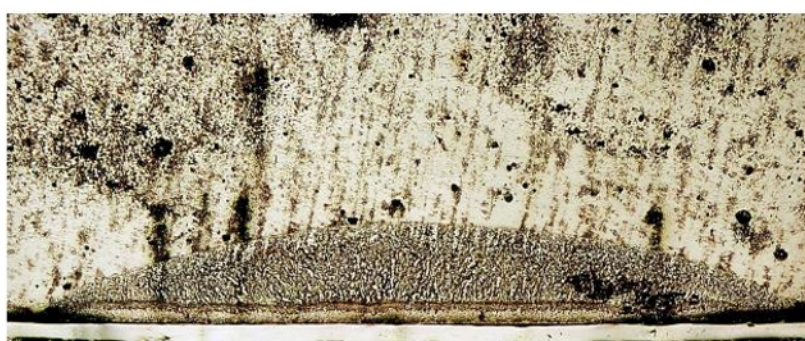


Рисунок 4.13 – Видовження зерен структурних складових сталі внаслідок лазерної обробки [13]

Змн.	Арк	№ докум.	Підпис	Дата

КНУ.КБР.13124.1-11.04.ОЕЧ

Арк.

Згідно триботехнічних випробовувань зношування азотованої протягом 10 год сталі становило $0,8 \text{ мг}/\text{см}^2 \cdot \text{км}$, а зношування поверхонь оброблених лазером та азотованих протягом 1 год – $0,33 \text{ мг}/\text{см}^2 \cdot \text{км}$, що у 2,4 рази менше [13]. Це можна пояснити більшою глибиною азотованого шару, більшою концентрацією азоту у поверхні, а також за допомогою фазового рентгеноструктурного аналізу визначено, що без лазерної обробки азотований шар містить у більшій мірі гексагональний нітрид заліза Fe_3N , а у обробленому лазером азотованому шарі – кубічний нітрид заліза Fe_4N , який є стабільніший і міцніший. Твердість поверхневого шару зубців вала-шестерні також підвищується у 2-2,5 рази згідно дослідження [12].

У роботі [14] виявлено у ході випробовувань поліпшеної сталі 45 і карбонітизованої сталі 45, що зношуваність можна зменшити у 1,2-1,3 рази для усіх діапазонів навантажень.

Отже, у ході вивчення досліджень термічної і хіміко-термічної обробки сталі було знайдено способи термічної обробки деталі Колесо зубчасте, які істотно можуть підвищити надійність і продовжити строк експлуатації у порівнянні із наявним рівнем зносостійкості робочої поверхні зубців при базовій термічній обробці.

Змн.	Арк	№ докум.	Підпис	Дата
------	-----	----------	--------	------

КНУ.КБР.13124.1-11.04.0ЕЧ

Арк.

56
ВИСНОВОК

При виконанні кваліфікаційної бакалаврської роботи було розглянуто службове призначення деталі «Колесо зубчасте», обрані матеріали та розглянуті аналоги, зроблено висновок, що використання сталі 45Л є доцільним. Проведено аналіз якості поверхонь деталей та технічний контроль робочого креслення.

Аналізуючи технологічність деталі, з розрахунків виявили, що деталь є технологічною. Обрали та економічно розрахували, що ліття є оптимальним методом отримування заготовки. Також було розроблено маршрутно-технологічний процес та підібрано сучасні актуальні ріжучі та допоміжні інструменти.

Беручи до уваги раніше проаналізовані методи обробки вибрали сучасні верстати та пристосування до них. Випробування в SolidWorks Simulation показало, що деталь витримала прикладені до неї зовнішні навантаження, які виникали у вузлі механізму. Епюри показали, що максимальне напруження становить 5,575 МПа та максимальне переміщення дорівнює 0,005 мм при мінімальному запасі міцності 95,067.

Описано охорона та безпека праці на підприємстві, розрахована економічна ефективність використання сучасного верстата з ЧПК, який буде окуплено через 6,5 років використання.

Також замінено базову термічну обробку гартування та відпуску на більш сучасний і ефективний метод опромінення лазером та подальше азотування, тому що вони здатні істотно підвищити надійність і продовжити строк експлуатації.

Дане технічне завдання кваліфікаційної бакалаврської роботи було виконано в повній мірі.

Змн.	Арк.	№ докум.	Підпис	Дата
Розроб.		Лещенко		
Перевір.		Кравцові		
Реценз.				
Н. контрол.		Рязанцев		
Затв.		Нечасєв		

Висновок

Літ.	Арк.	Аркушів

Кафедра ТМ
гр. ГМ-20

57
СПИСОК ВИКОРИСТАНИХ ДЖЕРЕЛ

1. Каталог та технічний посібник Seco 2020: "Токарна обробка";
2. Каталог абразивного інструмента LUCABRASIV 2015;
3. ДСТУ 18217:2008 "Протяжки шпонкові. Конструкція";
4. Каталог зубообробного інструмента FETTE 2015;
5. Каталог Sandvik 2017: "Токарні інструменти";
6. ДСТУ 2675:2008 "Патрони самоцентруючі трикулачкові. Основні розміри";
7. Каталог MICROCUT: "Токарні верстати з ЧПК";
8. Каталог GIGANT 2019: "Протяжні верстати";
9. Каталог GEARSPECT: "Зубофрезерні верстати";
10. Каталог JUNKER: "Круглошлифувальні верстати";
11. Чернета, О. Г., Сухомлін, В. І., Волошук, Р. Г., & Середа, Б. П. (2017). Дослідження мікроструктури зношених деталей автомобілів із сталі 45 при відновлені і багатократній термічній обробці. *Перспективні технології та пристлади*, (10), 212-216;
12. Idan Alaa Fadhil I. Development of the combined hardening technology of obtaining solid coating on the surface of steel products / Alaa Fadhil I Idan // Технологічний аудит та резерви виробництва. – 2017. – № 1/1(33). – С. 20–23. DOI: 10.15587/2312-8372.2017.93431
13. Кіндрачук, М. В., Яхъя, М. С., Корнієнко, А. О., Кіндрачук, В. М., & Іщук, Н. В. (2008). Визначення параметрів дискретної структури покриттів триботехнічного призначення. Проблеми тертя та зношування, (50).
14. Глушкова Д. Б., Байдала В. Ю. Порівняння зносостійкості та нанотвердості сталей, поверхня яких змінена різними способами //The 7th International scientific and practical conference “Application of knowledge for the development of science” (February 21–24, 2023) Stockholm, Sweden. International Science Group. 2023. 428 p. – 2023. – С. 386.
15. Кіяновський М.В., Цивінда Н.І., Цівко Ф.В. Довідник нормувальника машинобудівного виробництва. – Кривий Ріг: Видавничий центр КТУ, 200
16. Технологія обробки типових деталей (курсове проектування) Григорук О.І, Брендуля МФ., Доценко С.М, Навчальний посібник. Львів., Новий світ 2008, 576 с.
17. Технологічна оснастка механоскладального виробництва:Підручник / Боровик А.І,- К.: Кондор, 2008. 726

Змн.	Арк.	№ докум.	Підпис	Дата	КНУКБР.13124.1-11СВД		
Розроб.	Лещенко				Літ.	Арк.	Аркушів
Перевір.	Кравцовіа						
Реценз.							
Н. конто.	Рязанцев				Список використаних джерел		
Затв.	Нечасєв				Кафедра ТМ гр. ПМ-20		

18. Мазур М.П. Основи теорії різання матеріалів: підручник [для вищ. навч. закладів] / М.П. Мазур, Ю.М. Внуков, В.Л. Добросок, В.О. Залога, Ю.К. Новосьолов, Ф.Я. Якубов ; під заг. ред. М.П. Мазура. – 2-е вид. перероб. і доп. – Львів : Новий світ-2000, 2011. – 422 с.
19. О.Г. Левченко, Охорона праці та безпека в надзвичайних ситуаціях
20. О.Г. Левченко, О.І. Полукаров Охорона праці у зварювальному виробництві

Змн.	Арк	№ докум.	Підпис	Дата	Арк.
					KNU.KBR.13124.1-11.CBД

ДОДАТКИ

Змн.	Арк.	№ докум.	Підпис	Дата
Розроб.		Лещенко		
Перевір.		Кравцовіа		
Реценз.				
Н. контрол.		Рязанцев		
Затв.		Нечасєв		

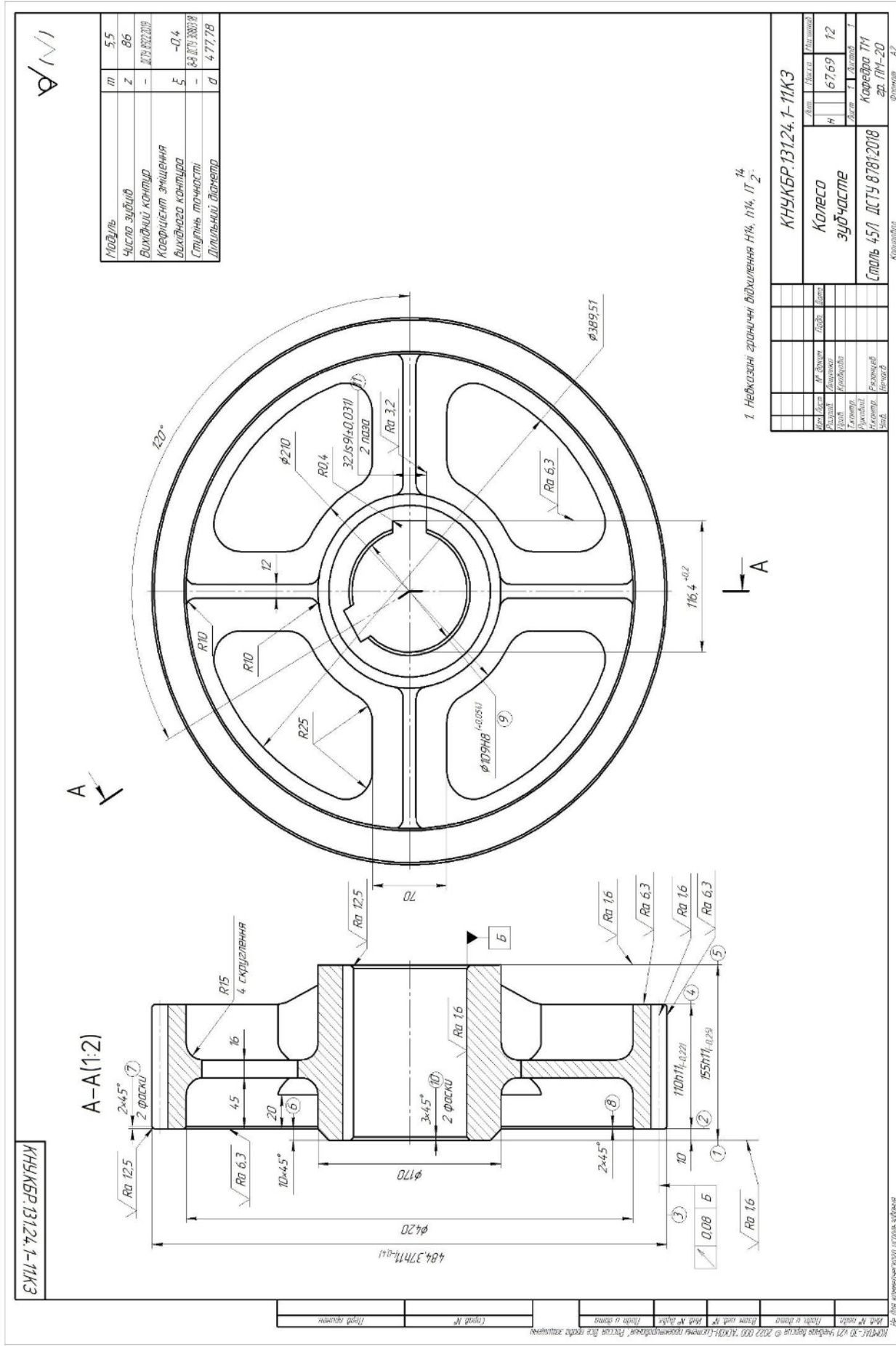
КНУ.КБР.131.24.1-11.Д

Додатки

Літ. Арк. Аркушів

Кафедра ТМ
гр. ПМ-20

Додаток – А



МІНІСТЕРСТВО ОСВІТИ І НАУКИ УКРАЇНИ
КРИВОРІЗЬКИЙ НАЦІОНАЛЬНИЙ УНІВЕРСИТЕТ
ФАКУЛЬТЕТ МЕХАНІЧНОЇ ІНЖЕНЕРІЇ ТА ТРАНСПОРТУ
КАФЕДРА ТЕХНОЛОГІЙ МАШИНОБУДУВАННЯ

**АЛЬБОМ КРЕСЛЕНЬ ТА ІНФОРМАЦІЙНО-
ЗАСВІДЧУЮЧИХ АРКУШІВ**

КВАЛІФІКАЦІЙНОЇ БАКАЛАВРСЬКОЇ РОБОТИ

зі спеціальності 131 – Прикладна механіка

на тему: Вдосконалення конструкторсько-технологічної підготовки виготовлення деталі «Колесо зубчасте» із метою підвищення його надійності з використанням CAD, CAE та передових технологій обробки

Виконав здобувач гр. ПМ-20

Лещенко К.П.

(підпис)

Керівник КБР

Кравцова Д.Ю.

(підпис)

Нормоконтроль

Рязанцев А.О.

(підпис)

Завідувач кафедри

Нечаєв В.П.

(підпис)

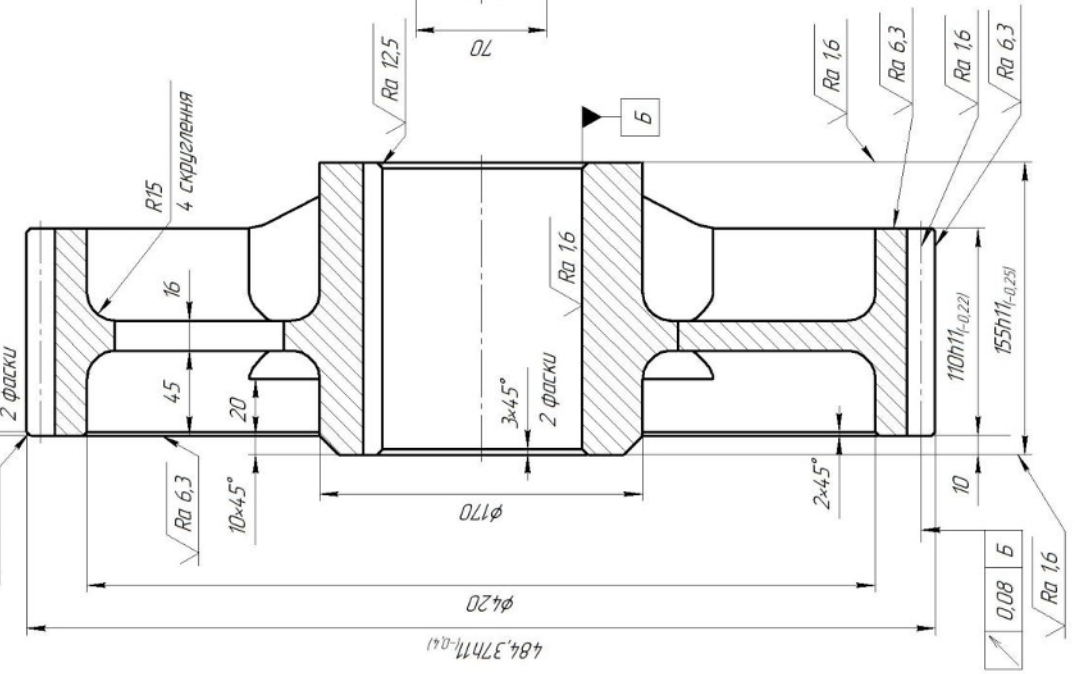
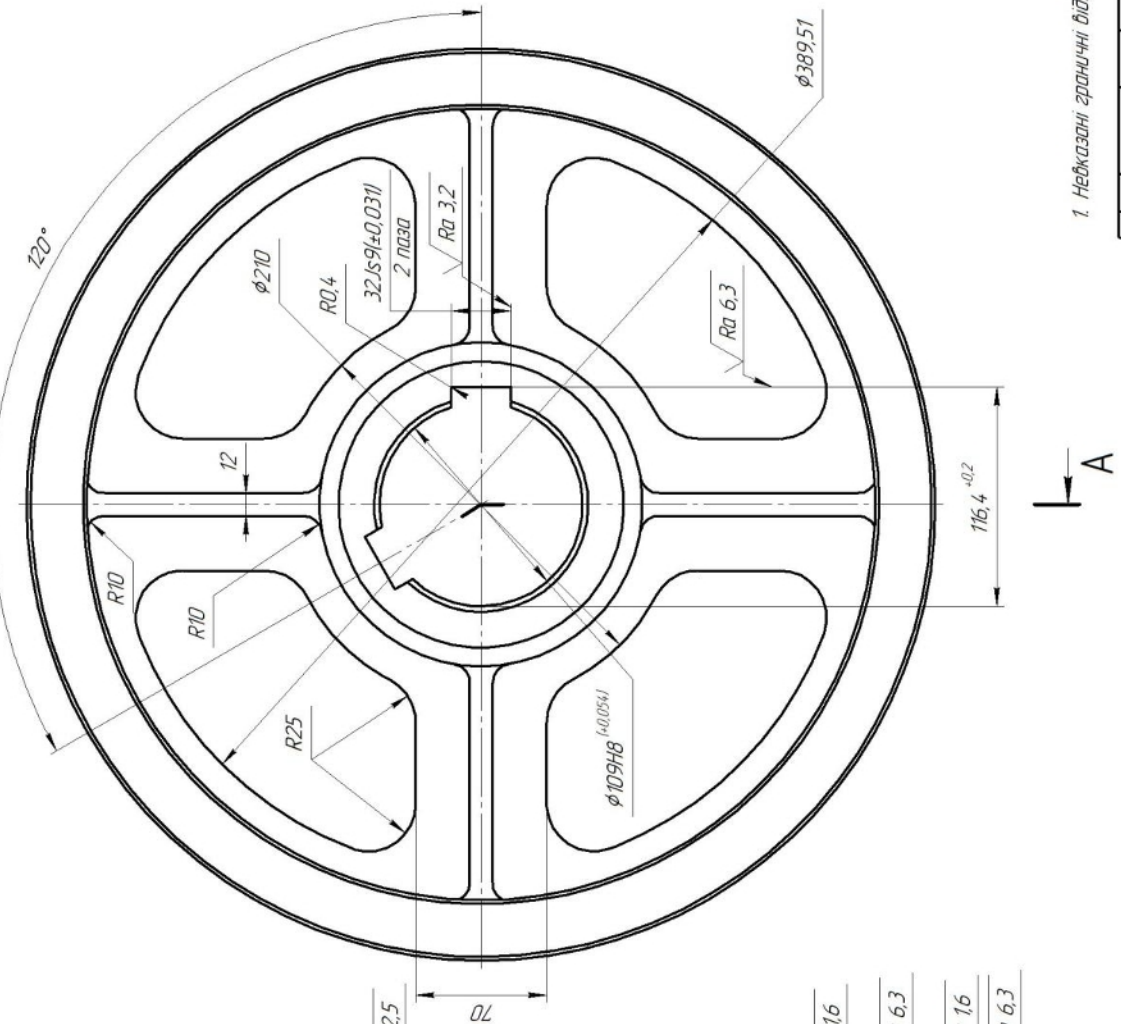
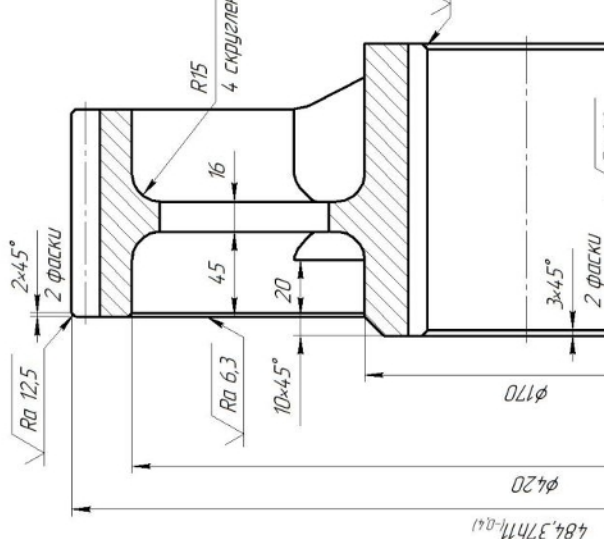
Кривий Ріг

2024 р.

Нерф. пригн.	Справ. №	Обозначеніє	Наименование	Кол.	Приме-
					чання
Креслення					
A2	1	КНЧ.КБР.131.24.1-11.К3	Колесо з зубчасте	1	
A1	2	КНЧ.КБР.131.24.1-11.ЕО	Ескізи операцій	1	
A1	3	КНЧ.КБР.131.24.1-11.Р3Ц	Редуктор з зубчастий циліндричний	1	
A1	4	КНЧ.КБР.131.24.1-11.ВДКЗВ	Випробування деталі «Колесо з зубчасте» з використанням САЕ технологій	1	
Инф. № подп.	Подп. и дата	Взам. инф. №	Инф. № дубл.	Подп. и дата	
Изм.	Лист	№ докум.	Подп.	Дата	
Разраб.	Лещенко				
Пров.	Кравцов				
Н.контр.	Рязанцев				
Утв.	Нечасев				
КНЧ.КБР.131.24.1-11.ВЕД					
Відомість електронних документів КБР					
Лит.	Лист	Листові			
1		1			
Кафедра ТМ гр. ПМ-20					

A-A

A-A(1:2)



Номінальний діаметр	\bar{d}	55
Число зубів	Z	86
Виконаний конус	-	ДТУ 6922/2019
Коефіцієнт зміщення	ξ	-0,4
Виконаного конуса	-	ДТУ 3803/8
Ступінь точності	-	ДТУ 8781/2018
Допоміжний діаметр	d	477,78

1. Недоказані граничні відхилення Н14, н14, IT₂.

КНУКБР.13124.1-НКЗ							
Поз.	№	Назва	№	Назва	Поз.	Назва	
1	Ленгенко	2	Григорів	3	Красільова	4	Григорів
5	Григорів	6	Григорів	7	Григорів	8	Григорів
9	Григорів	10	Григорів	11	Григорів	12	Григорів
13	Григорів	14	Григорів	15	Григорів	16	Григорів
17	Григорів	18	Григорів	19	Григорів	20	Григорів

Колесо	Лист	Матеріал
зубчасте	1	Листовий
		67,69
		1
Спідль 45/1 ДСТУ 8781/2018	Карбідова ТМ	2р. ПМ-20
	Конструкція	Формування

Операція 005
Токарна обробка по контуру

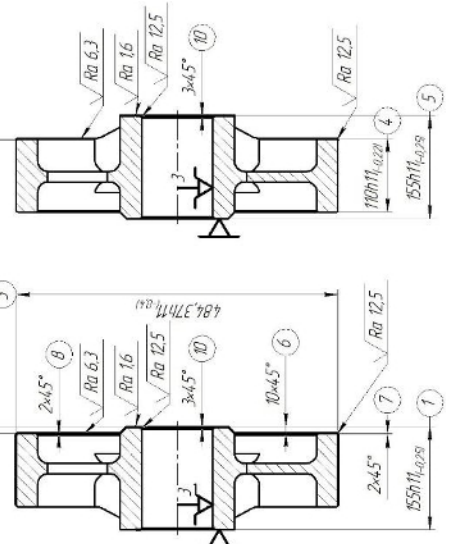
Операція 010
Токарна чистота

Чистота 5

Верстат SF 350/500 CNC

Чистота 5

Верстат 76НТ

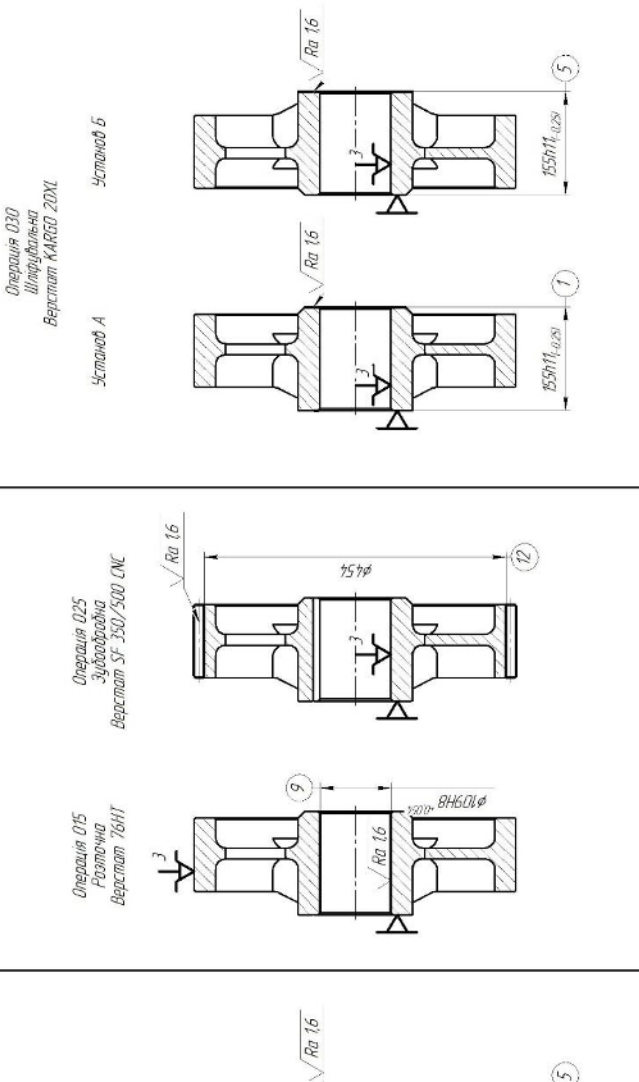
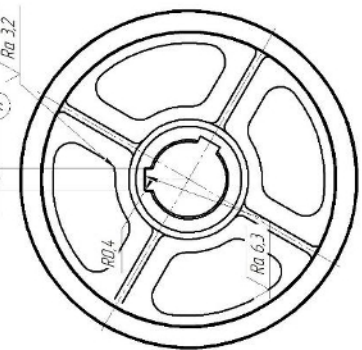
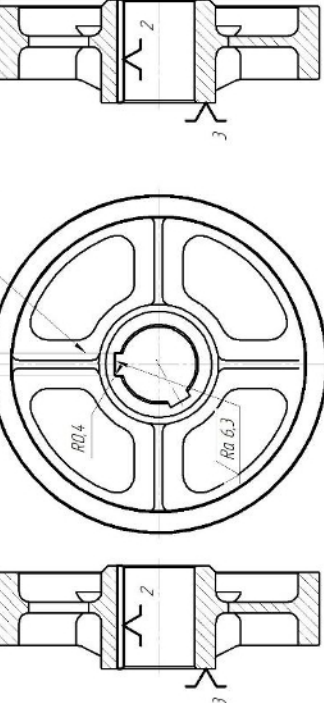


Операція	Режими різання						Норми часу
	t	S	V	n	T _o	T _{sec}	
Підготовчий процес	0.6	1	4616	300	163	9.2	
Чистота 5 Н/чистота	0.9	1	3693	240	204	9.2	
Чистота 5 Н/чистота	1.8	14	3077	200	339	3.1	
Чистота 5 Н/чистота	12	1	3693	240	466	-	

Операція 020
Гравіювання
Верстат 74-45

Чистота 5

Верстат 7



Операція	Режими різання						Норми часу
	t	S	V	n	T _o	T _{sec}	
Шлифування / Підгот.	0.001	0.5	15	200	87	7.1	
Чистота 5 Н/чистота	0.9	1	87.6	240	655	4.8	
Чистота 5 Н/чистота	0.6	1	108.3	300	52	-	
Чистота 5 Н/чистота	-	0.45	9.1	150	16.2	-	
Чистота 5 Н/чистота	-	0.38	30.5	150	193	-	

Операція	Режими різання						Норми часу
	t	S	V	n	T _o	T _{sec}	
Чистота 5 Н/чистота	0.5	1	102	100	155	-	

Операція	Режими різання						Норми часу
	t	S	V	n	T _o	T _{sec}	
Чистота 5 Н/чистота	0.3	1	353	125	4.3	-	

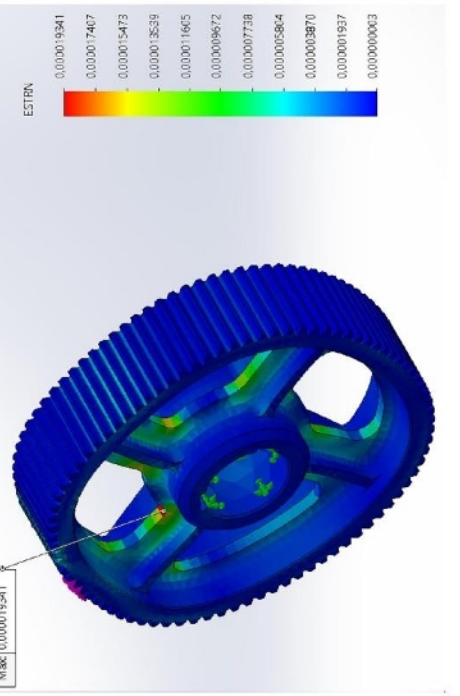
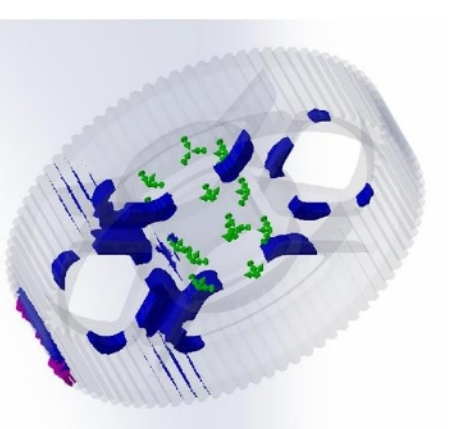
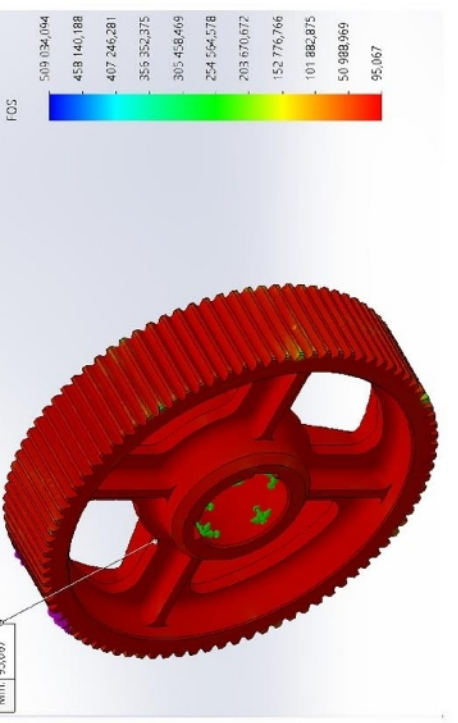
Операція	Режими різання						Норми часу
	t	S	V	n	T _o	T _{sec}	
Чистота 5 Н/чистота	0.3	1	353	125	4.3	-	

КЧУКБР 13124.1-11ВДКЗВ						
Серийн.	Модель	Номер	Підприємство	Замовник	Код	Код обслуги
					11	1

Ізотропна модель
використовується
для підтримки
параметрів

Епюра зони міцності
Епюра переміщень
Епюра механічних навантажень

Епюра максимальних деформації



Створена сітка

Епюра переміщень

Епюра максимальних навантажень

